UdPPC Brest 2024

À la recherche des premières traces de vie sur Terre

Stefan Lalonde CNRS / Institut Universitaire Européen de la Mer





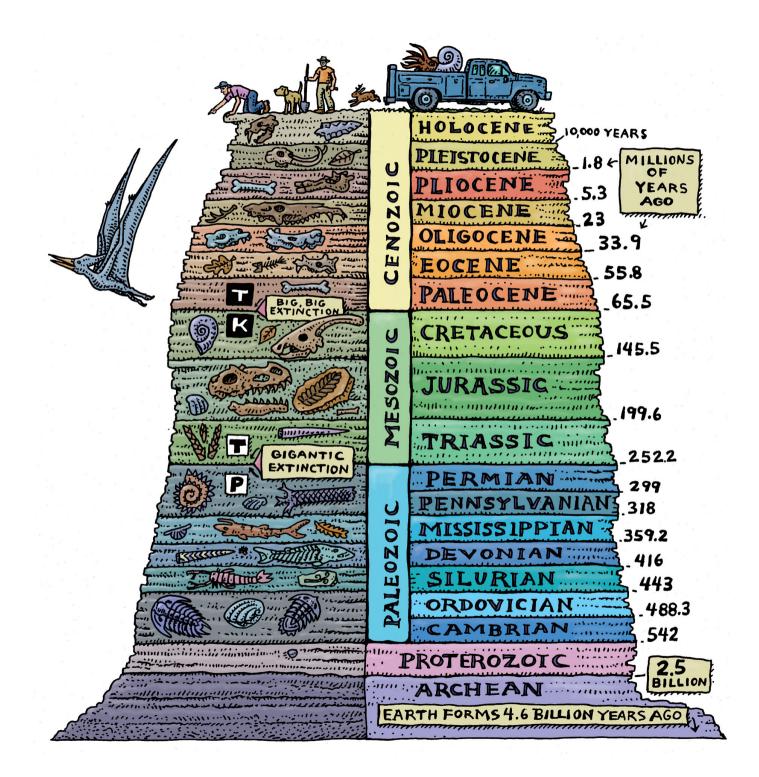


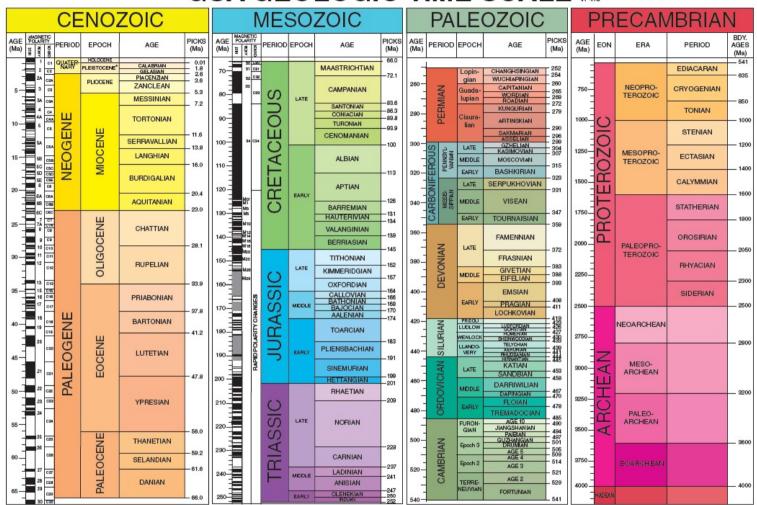




European Research Council Established by the European Commission







GSA GEOLOGIC TIME SCALE v.4.0

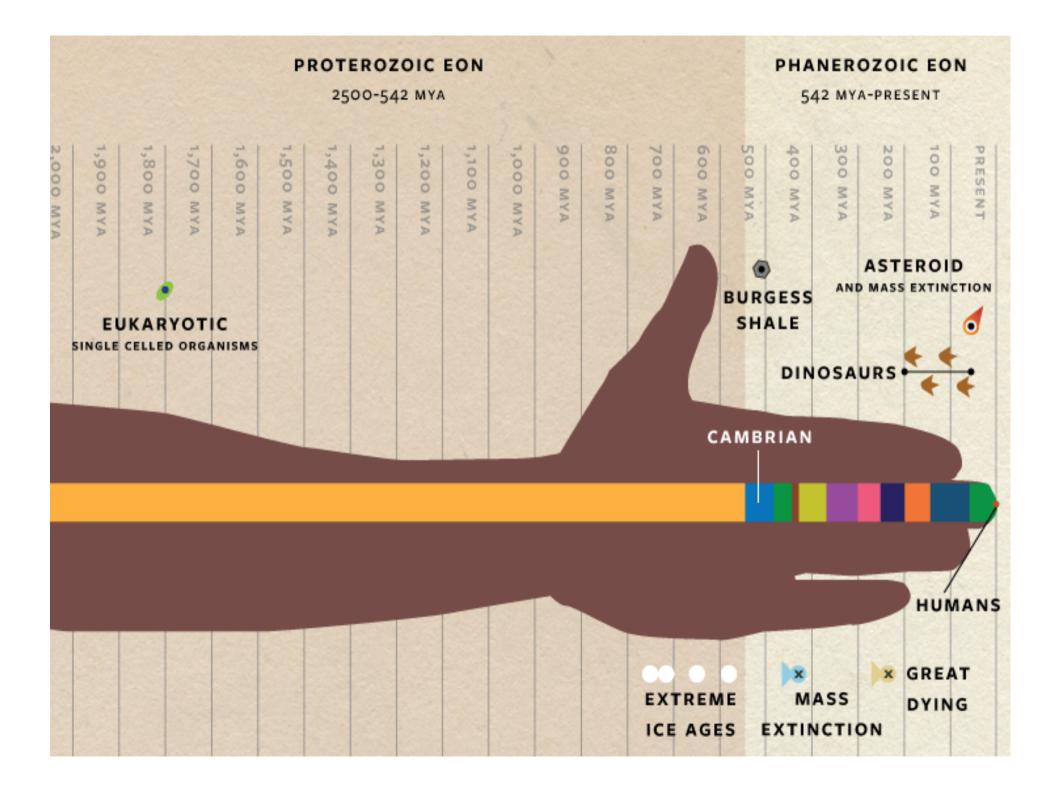
The Pleistoane is divided into four ages, but only two are shown here. What is shown as Calabrian is actually three ages—Calabrian from 1.8 to 0.78 Ma, Middle from 0.78 to 0.13 Ma, and Late from 0.13 to 0.01 Ma. Walker, J.D., Geiseman, J.W., Bowring, S.A., and Babcock, L.E., compilers, 2012, Geologic Time Scale v. 4.0: Geological Society of America, doi: 10.1130/2012.CT8004R3C.C2012 The Geological Society of America. The Genezoic, Mesozoic, and Palsozoic are the Eras of the Phanerczoic Eon. Namee of units and age boundaries follow the Gradstein et al. (2012) and Cohen et al. (2012) compilations. Age estimates and picks of boundaries are rounded to the nearest whole number (1 Ma) for the pre-Genomanian, and rounded to one decimal place. (100 ka) for the Cenomanian to Pleistocane interval. The numbered spochs and ages of the Cambrian are provisional REFERENCES CITED Cohen, K.M., Finney S., and Gibbard, PL., 2012, International Compilational Chronostratingraphic Chart: International Commission on Stratigraphy, www.stratigraphy.org (last accessed May 2012). (Chart reproduced for the 34th International Geological Congress, Brisbane, Australia, 5–10 August 2012).

Gradstein, F.M. Ogg, J.G., Schmitz, M.D., et al., 2012, The Geologic Time Scale 2012: Boston, USA, Elsevier, DOI: 10.1016/B978-0-444-59425-9.00004-4.

"The GSA Geologic Time Scale, not actually to scale" http://www.geosociety.org/science/timescale/timescl.pdf.

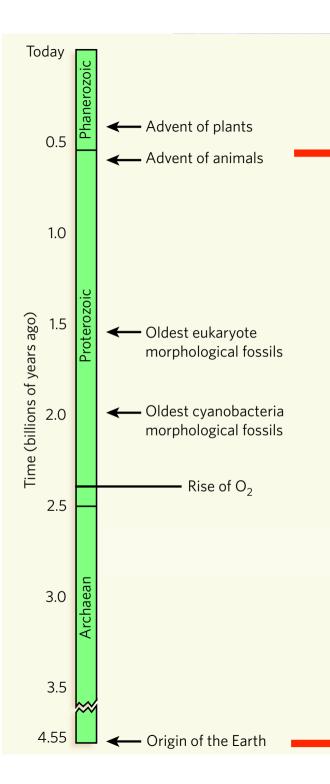
THE GEOLOGICAL SOCIETY

OF AMERICA®



Situating ourselves in Geological Time:

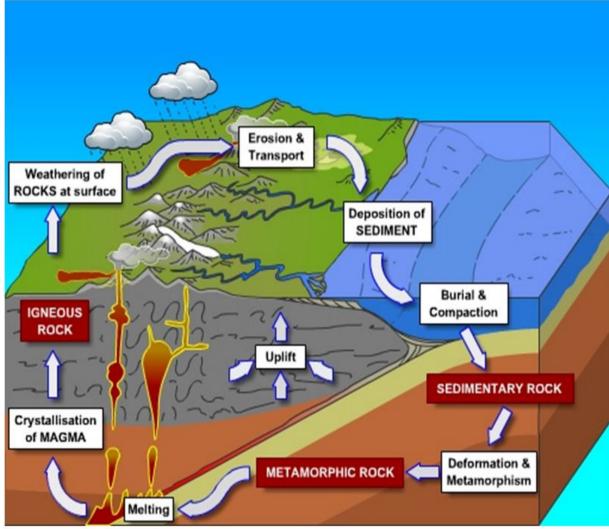
The Precambrian

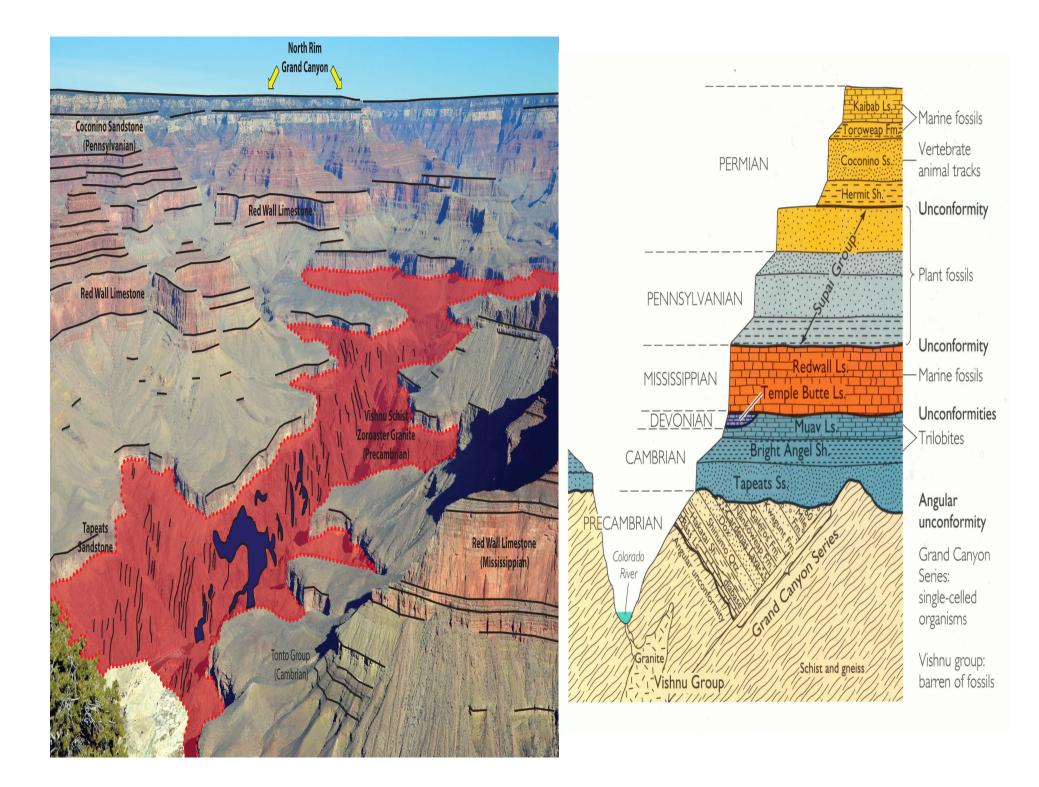


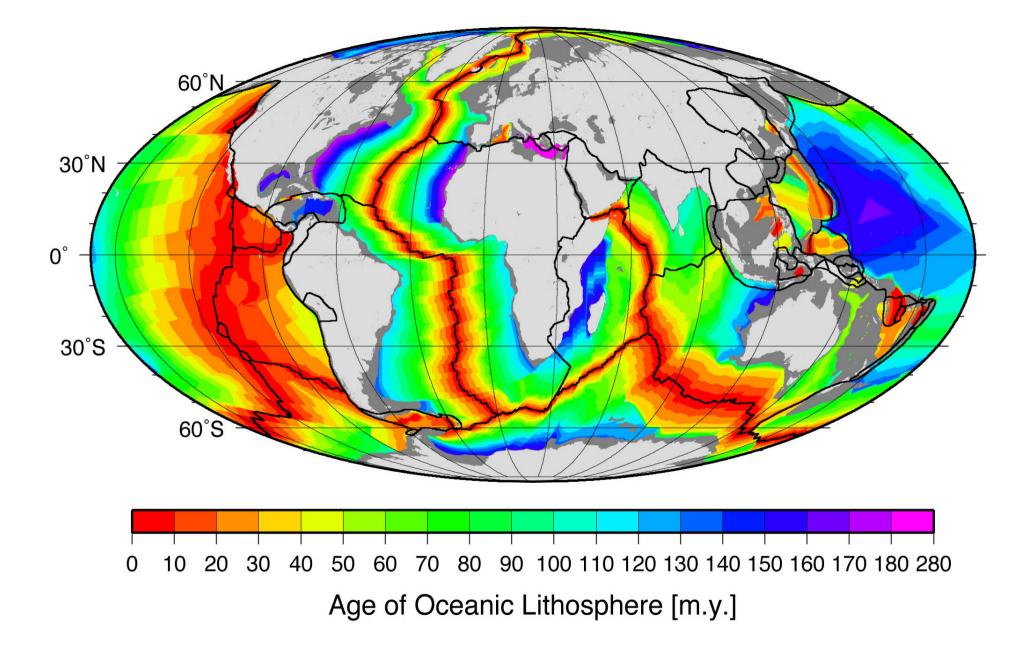
Situating ourselves in **Geological Time: The Precambrian** V.W. (2008) Nature 455:1051

Rock Cycle

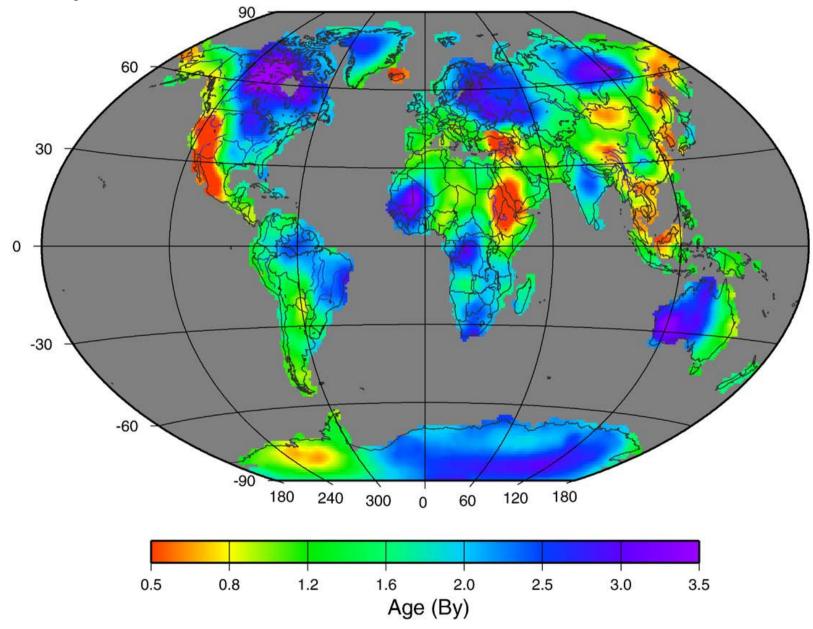
- 3 types of rock:
 - Igneous
 - volcanic rock
 - Sedimentary
 - compacted rock
 - Metamorphic
 - deformed, changing rock





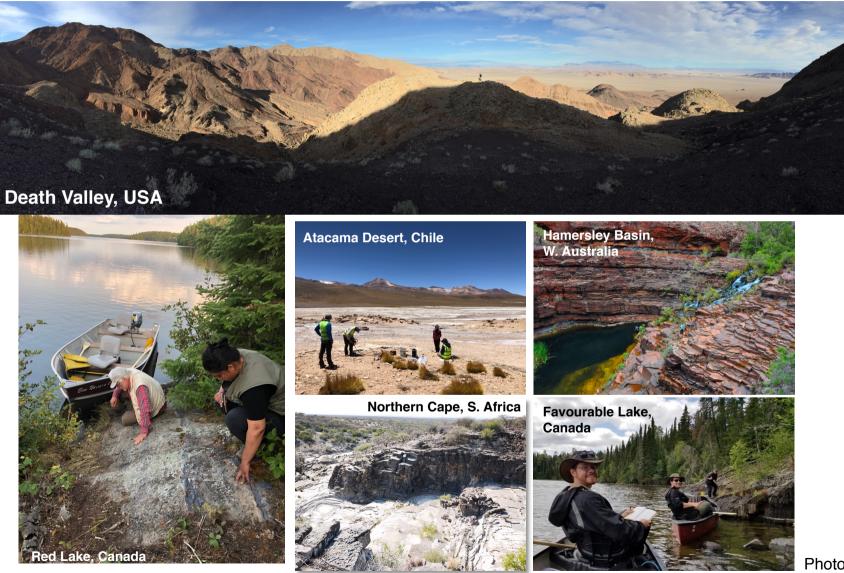


Pour aller plus loin dans le passé... il faut des archives sédimentaires plus anciennes préservées sur les continents.



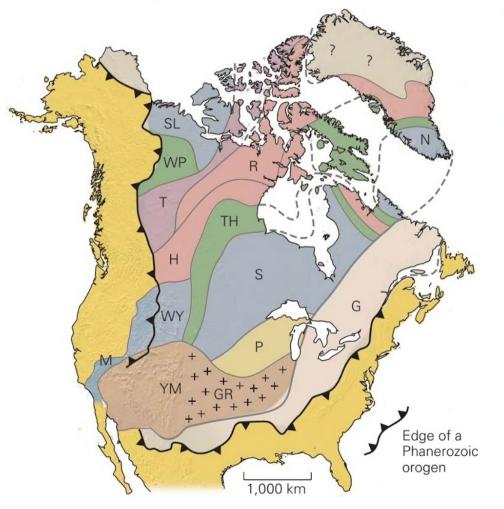
Poupinet G, Shapiro NM (2009). Lithos 109, 125-130.

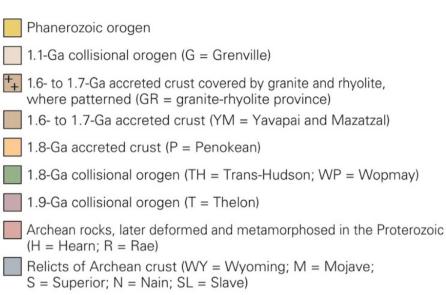
Pour aller plus loin dans le passé... il faut des archives sédimentaires plus anciennes préservées sur les continents.

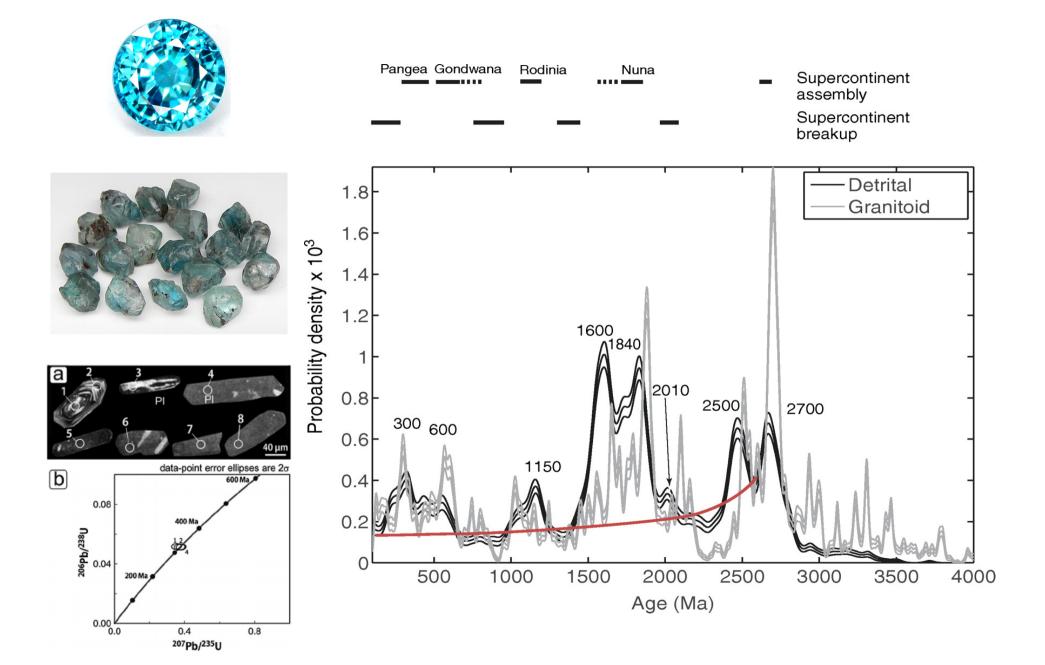


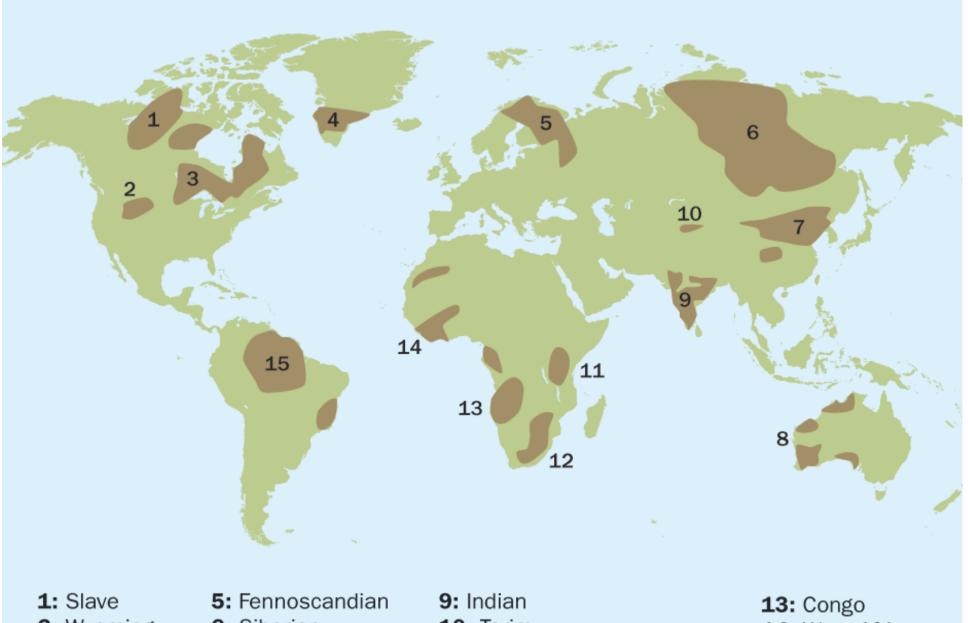
Photos: Lalonde

The North American craton consists of a collage of different belts and blocks stitched together during collisional and accretionary orogenies of Precambrian time.









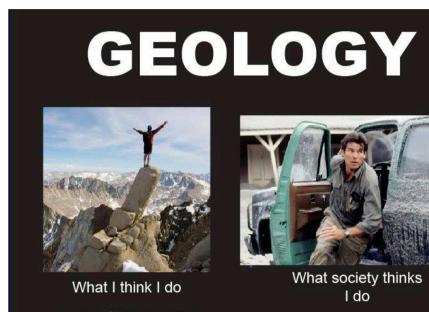
- 2: Wyoming
- 3: Superior
- 4: Greenland

5: Fennoscandian6: Siberian7: North China8: West Australian

10: Tarim
11: Tanzanian
12: South African (Kaapvaal)

13: Congo**14:** West African**15:** Amazonia

Pour l'instant nous sommes partis sur l'archive géologique...





What my friends think I do

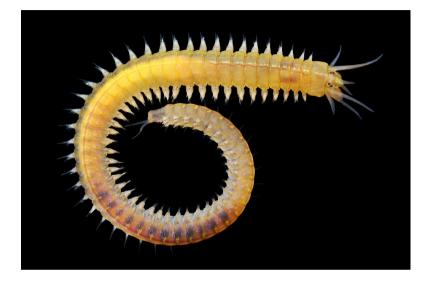


What I actually do

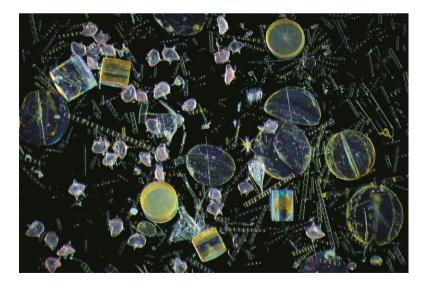
Même pas besoin de se déplacer pour trouver des traces de la vie primitive...



On est entouré!





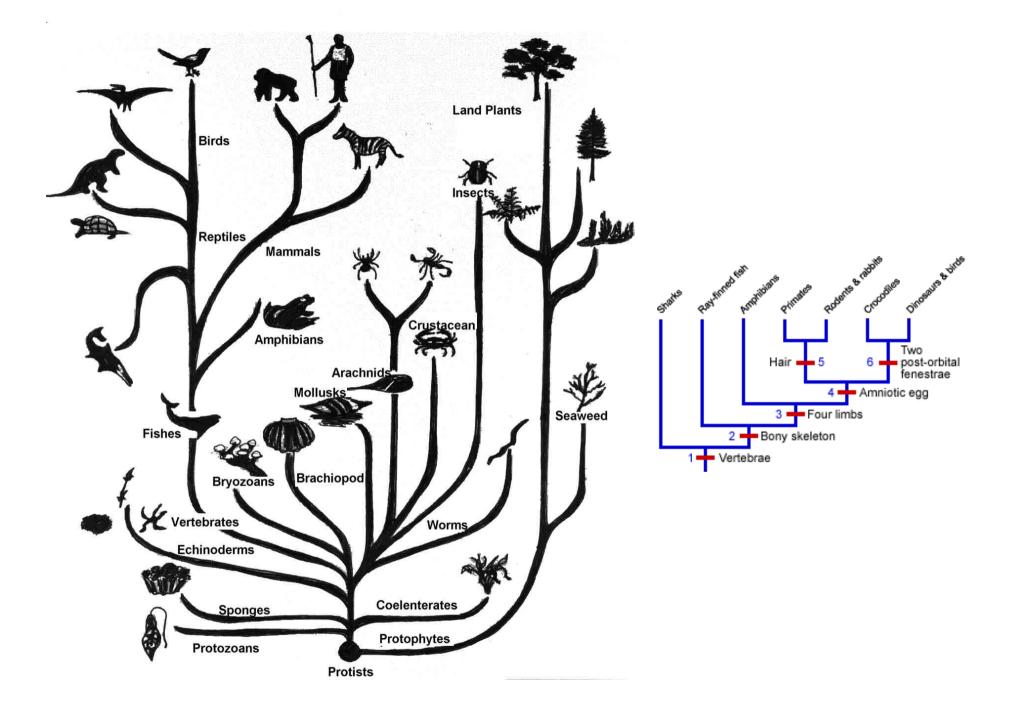




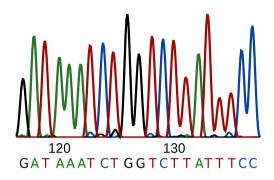










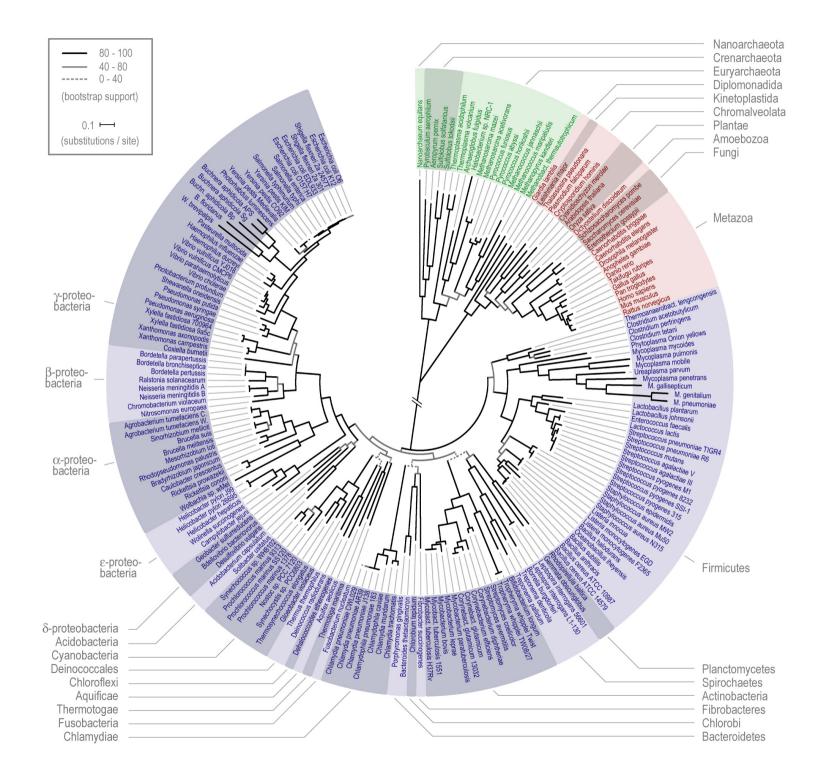


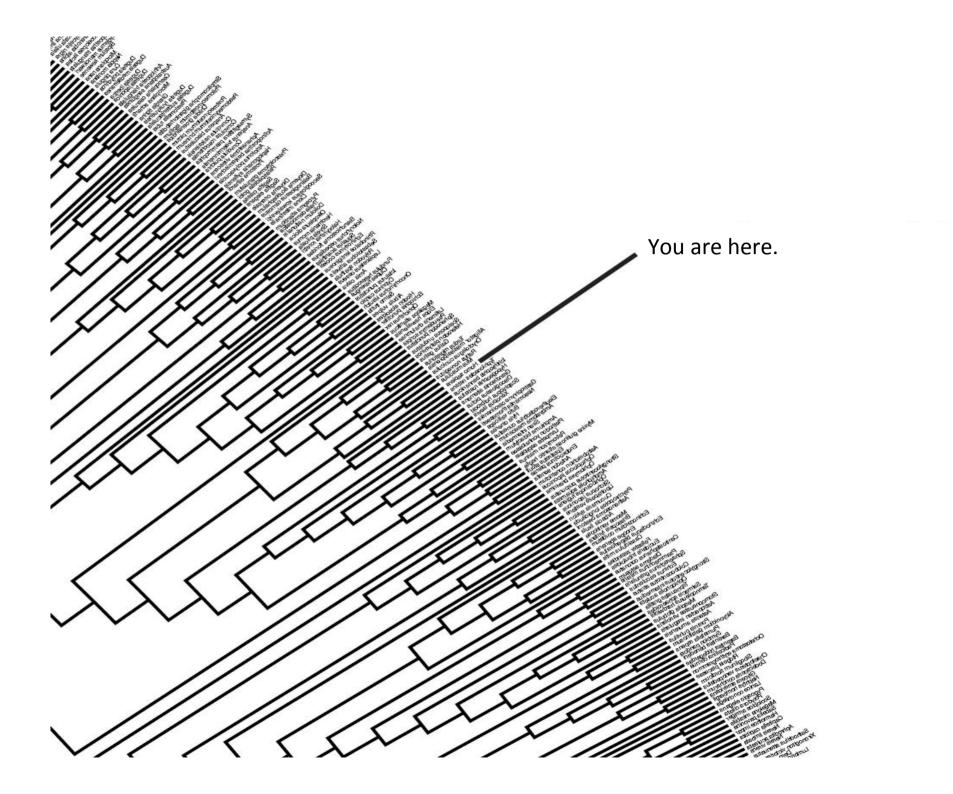
Sequence alignment Chimpanzee Human NENLFASFIA PTVLGLPAAV ... Human - Bonobo Chimpanzee NENLFASFAA PTILGLPAAV . . . Bonobo NENLFASFAA PTILGLPAAV 99. 00 . . . Gorilla · Gorilla NENLFASFIA PTILGLPAAV . . . 0 Bornean orangutan NEDLFTPFTT PTVLGLPAAI ... Sumatran orangutan NESLFTPFIT PTVLGLPAAV ... Bornean orangutan 100 Gibbon NENLFTSFAT PTILGLPAAV ... Sumatran orangutan Gibbon Bootstrap Bootstrap Bootstrap Use maximum likelihood trees . . . data set 2 data set 1,000 data set 1 from the bootstrap data sets to place support values on the original maximum likelihood tree Maximum Maximum Maximum likelihood likelihood likelihood . . . tree 1.000 tree 1 tree 2

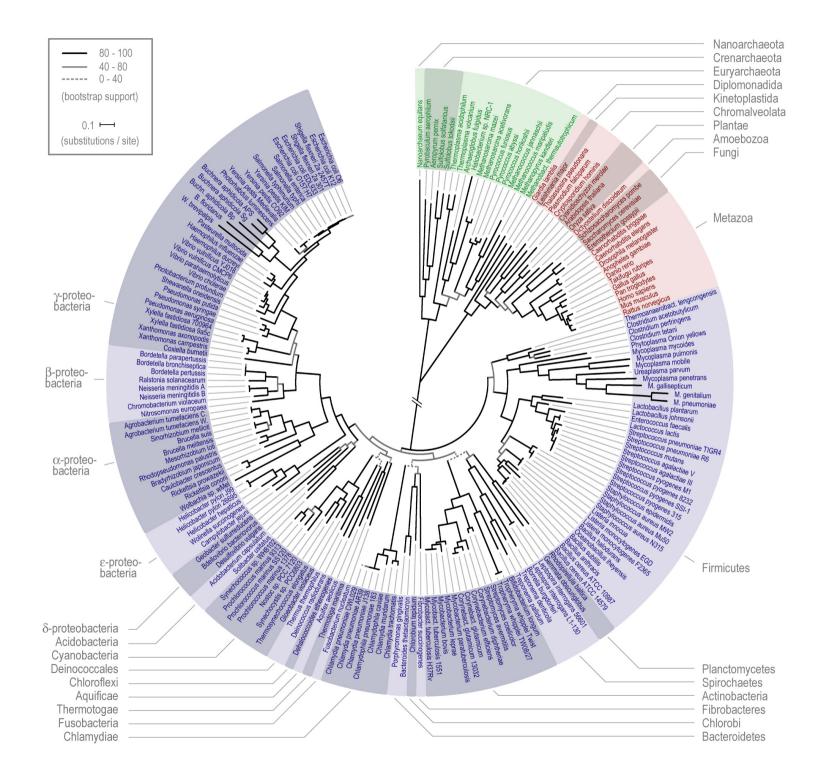
Maximum likelihood tree inferred from original data

Nature Reviews | Genetics

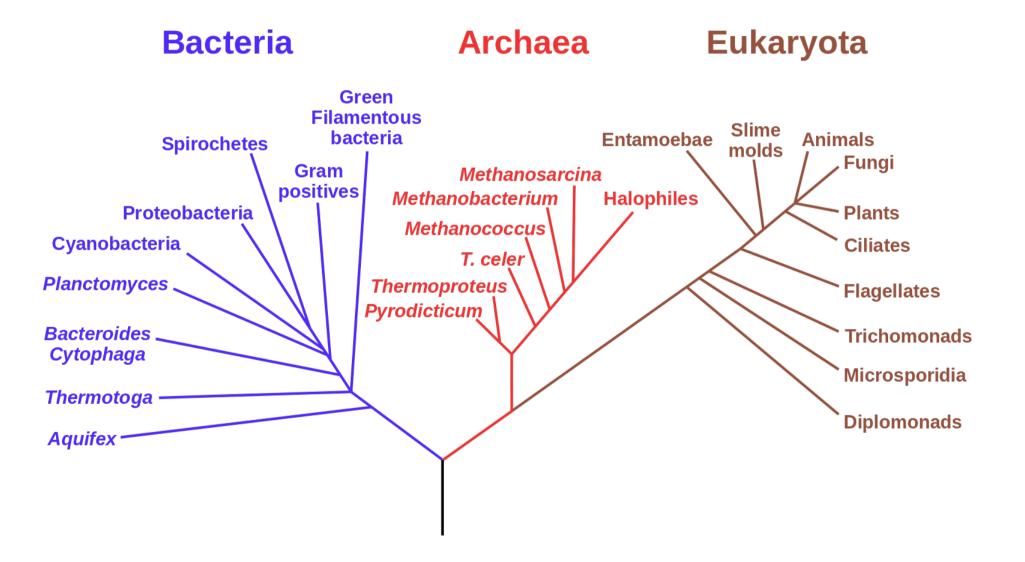
consensus	AGAC.tcTca.AgcTtATA.aGAGgAATTT.aAGGA.ACAcggaagcaccgCAGcgtAcatac.gtgAgAT.cgAGtaccGgAT.gACGta.AAATT.AcCt.TAgaag.aT.tAaga.gtct	
Rc_hemC	AGACATCTTTCCAAACTC-GGTTATAGGAG-GTACTTGAAGAAACAC-AGAGGC-ACTGCGGAGGCTACAAAAGCA-ATGCGCACGAAGTACCGGATGACGTACAAAT-ACCCCTAGAGTAGA-GTTTCGAAGAGTTCCT	147
	AGACATCTTGCCAAATTTGCTTATAGAGAGGAATTTAAAGGAAACACGGAACGCAACACCACAGCCTAGACTTTAGTAC-GTGAGGATGCGAGTACCGGATTGACGTACAAATT-ACCTCTAGAAGTAGAGTTTGGCAAGATGTCT	
Rc_RR045h		
Rc_RP545h		
Rc ubiG	AGACACCTTTCCAAACTCACTTATAGAGAGGAATTGGTAGGAAACATGCAGCACAGCACCGCAGCGTACGCTTTGGGATGCGAGCAGCAGATTGACGCAGCAGAATT-ACCTCTAGAAGCAGAGTTTGAAAAAGATGTCT 1	
Rc ubiH	AGACATCTTGCCAAATTCGCTTATAGCGAGGAATTTGTAGGAGACACGAAACGCAGCACCGCAGCGTACACAAGCGGATGCGAGGAGATCGACGACGACGAAATT-ACCTCTAGAAGAAGAAGTTGGGAAGAATTGGCGAAGATTGGGAAGATTGGGAAGAAGTTGGGAAGATTGGGAAGTTGGGAAGATTGGGAAGTTGGGAAGATTGGGAAGTTGGGAAGATTGGGAAGATTGGGAAGATTGGGAAGATTGGGAAGATTGGGAAG	
	A AGACATCTTGCCAAACCAGCTTATAGAGAGGAATTAAAGGAGACATAGAATGTAGCACCGCAGCGTACAAAGAAGGATACGAGTACCGATTCGACGACTCTAAAATT-ACCTCTAGAAAGCGAAGTTTGGAAAGATGTCT 1	
	AGACATCTTTCCAAACCAGCTTATAGAGAGGAATGTACAGGAGACACGGAACGCAGCACTACAGCGTATATGGACATTGAGGATGTGAGTACCGGATCGACGTCTAAAAT-ACCTCTAGAAAGCGAAGTTTGTAAAAGATATCT	
Rc_mesJ	AGACATTTTTCCAAACCAGTTTATAGAGAGGAATTTAAAGGAGACACGGAACGCAGCACCGCAGCGTACACTTTAGTAC-GTGAGGATGCGAGTACCGGGACCGGACC	144
Rc_era	AGACATCTTGCCAAATTCGCTTATAGAGAGGAATTTAAAGGAGACACGGGAAGCACTTGCCGCCCCGAGCTAC-GCGAGGATGCGAGGACTGGATCGACGGCGTCTCAATT-ACCTCTAGAAAGTGCAGTTTGGGAAGATCTCT 1	135
Rc_orf1	AGACATCTTTCTAAACCAGTTTATAGAGAGGAATTTAAAAGAGATACGGAACACAGCACCGCAGACATAC-GTGAGGATGCGAGTACCGGATCGACGTCTAAAATT-ACCTCTAGAAGTGAAGTGTGGAAAAGATGTCT 1	135
Rc_gltX	ACACTTCTTCGGCATCTCCTTATAGGGAGGAATTTGGAGGAAACACGGAACGCAGCACCGCAGCGTATATAGACATAC-GTGAGGATGCGAGTACCGGATGACGTACAAATT-ACCCCTAGCAGTAGAGTGCCGAAGAACTT 1	144
Rc_mviN	CGACTTCT-TGCATAACGTAGCTAACTAACGACGCAACACCACCGGAACCGCAGCGCAG	144
Rc_pcnB	AGATCTCT-TGCATAACAAAACTAATAAAGAG-GAATTTGAAGGAGACACCGGAACGCAGAATCGCAATGTACATAAACGTAC-GTGAGGATTCGAGGACCAACGTACAAATT-ACCTTTAGAAGGACGACCAAGTTATCC-AAGAGATCG	
Rc_rlpA	AGACCTCT-TGCAGAATGAAGCTAATAAAGAGC-AAATTTGAAGGAAACACCGGCATGTAGCACCATGACGCATTAGATAC-GTGAGGATGCGGAGTACCGGATTGACGGATATACCGC-AGATATT-TCAAAAGGTTGGAA-ATCAAATAA 1	
Rc_orf2	AGACTGCT-TACAGAATGAAGCACAACGACGACGACGACGACGACGACGACGACGAC	
Rc_kdtA	AGACTTCA-TGCAAACGTCCGCTAATAAAGAGGAATTTAAAAGGAGACACTTCACTGCGAACCACCACGTATAACGTATAAACGTAAGGATCAACGTATAAAATT-ACCTTTAGAAGGACAACG-ACGAACGCA	
Rc_orf3	AGACTCCT-TACATAACCTATCTTATAAAGAG-GAATTTGAAGGAGACATGAAACGCAGCACCGCAGCATACAAAAAAGGTAA-GTGAGGG-AATATCGACGTATATCGACGTATATCGC-GGATATT-TCAGAAGATTGGGA-GTCAAATAA 1	
Rc_gmk	AGAGTGCTTCAGAAATGC GCTTATAGAGAGGAATTTAAAGGAGACATGGAACGTAGGACCGCAGCG	
Rc_rpe20	AGACTTCC-TGTACAACTTAGCTAATAAGGACGAATTTGTAGAAGACACGGAACACAGCACCGCAGCGTACGCTTTGGTA-CGTGAGGATACGAGTAACGGATCGACGCACAAATT-ACCCTTAGAAGACAAGTTATGC-AGAAAGTCT	
Rc_rpe21	AGACTTCTTGACTT-GCTAATAAGGAGAAATTTGAAGGAGACACACGGAACGCAGAACCGCCAGCCTACACGCCACCGCACCG	
Rc_rpe22	AAACTTTTCTAAATGACGTAGTAATAAAGAGAAATTTGAAGGCAACACGGAACGGAGAACGGCACGGAACGCACGC	
Rc_rpe23	AGACTTAT-TCCATAATATAGCTAATAAGAAGAATTTGAGACAACACGGAAACACTTGCCACCCCACGATACAAAAATAC-GTAAGG-AATGACAATACAAAATTTAACCATACAAAGTTATAC-AAAAACTTT	
Rc_rpe24	AGACTTCT-TCCATAACCTATCTATCTAACAAAGACGGAAGAACAACCCGGAAGTACTTCGCCACCGCCGGAGCATACTGCCACGCCGAGCAACAACCCCGCTTAAAAAGAAGACTTAACAAGGAAGCTTACAAGAAGAAGCTTACAAGAAGAAGCTTACAAGAAGAAGAC	
Rc_rpe25	AGACTTGT-TGTGTAACCTATCTTATAAAGAGGAATTTGAAAGAAACACGGAACGCAGCACCGCATGACTAGTACGTGAGGATGCGAGTACCGGATTGACAAATT-ACCTGTGAAGGAGGAGGTTATAC-AACAAGTCT AGACTTCT-TGCATAACCTATCTTATAAAAGAGGAATTTACAGGAAAGCTTATGC-AAGAAACCCGCATGACTAGAGTACCGGATTGACAAATT-ACCTTTACAAGGAGGTTATGC-AAGAAATCT	
Rc_rpe26 Rc_rpe27	AGACTTAT-TOCATAACCTATTTATAAAGAG-GAATTTATAAAGAGGACGAACATAGAACCAGAGCGTAGCCAAAATCTAT-GTAAGG-CAGTCGAGTACCAGATCCAAAT-ACCTTATGAAAGAGGATATGCCAAAGAGCGTAG	
Rc_rpe28	AGGCTTGT-TGCATACCTATTTATAAAGA-GAAGA-GACCAGGAACAGGAACAGACCAGGCGAACAAAAT-IA-GAAGAGG-ATGACGACGAATGACGACGAATGAAT	
Rc_rpe29	AGGCTTTT-TGCACAACGAAGGTAATAAAGAC-CAATTTGCAGGAAACAC-CGAAG-CCAGAACTGCAGAGATGAGGAAAAAAAGC-TACGATTGAGGTAATAAAGAC-CGAGTAGAAGAC-CAATTGCAGGAAGCAAGC-TTGAGGAAGCAAGC-TTGAGGAAGCAAGC-TTGAGAAGCAAGC-TTGAGAAGCAAGC-TTGAGAAGCAAGC-TGAGGAAGAAATAAAAGC-TGAGAAGCAAGCAAGCAAGCAAGATGAGAAGAAGCAAGC-TGAGGAAGAAGCAAGCAAGCAAGCAAGCAAGCAAGCAAGC	
Rc_rpe30	AGACCTCT-TGGAGAACGAAGGTAATAAAAGC-CAATTTGTAGGAAACACGGACGCAGTATCGCAGCCTACACTTTAGFAC-TGAGG-ATGCAGTACTGCATTGACGTACAAATT-ACCTTTAGAAGCAAGTTATGC-AAGAGTCT	
Rc_rpe31	AGACATTITTTCCAAACCAGCTTATAGAGAGGAATTTAAAGAAGACCTTCCCCTCCAACCGCAGAGCTACAAAAGCGGATTCCAGTACCGCATTGACGTATACATT-ACCTCCAAAAGCGAAATTTGGAAAAATTCTCT	
Rc_rpe32	AGACATTITTTCCGAACCGGCTTATAGAGAAGAATTTGAAGGAGGTACGGAATGCAGAACCGCAGCCTATATAA-CGGAC-GTGAGGATTCAAGTGCCGCATCGACGTACAAATT-ACCTCTACAAGTACAGTTTGGAAAGATGTCT	
Rc_rpe33	AGACCTCTTTCCCAAACCAACTTATAGAGAGGAATTTAACGGAGACACGGGACACAGCACCACAGCATATATAGAAATAC-GTGAAGATGCGAGTACCGACTATAAATT-ATCTCTAGAAAACGACGCTTGGGAAGAGGTCT	
Rc rpe34	AGACATCTTTCCAAAAACTTATAGAGAGGAATTTAAAGGAGACACGAAAGCACTTGTCACCGCAGCATACAAACTAGTAC-GTGAGGATACGAGTCTAGGCTTGATGATATAAATT-ACCTCTAGAAGCCGAAGTTTGAGAAATGTCT	
Rc_rpe35	AGACATCTTCAGAAACTCGCTTATAGAGAGGAATTTGAAGGAGACACGCCCCAAACTCCGCAGCGTACAAAGGAGATTCGAGGAGAACAAAGTACAACGTACAAAGTAGAACAGTTTCCCGAAGAACTAAA	144
Rc_rpe36	RGACCTCTTCCGGAAACTCGCTTATAGAGAGGAATTTGAAGGAGACACGGAACACAGAACCGCAGGATAGAAAGAGGTTCAAGTACGAGATTCAAGTACGACGAACTAGAAGTAGAGTTTCCCGAAGAAGTACGAGTTTCCCGAAGAAGTAGACGTTCCGAAGTAGA	144
Rc_rpe37	AGACTTCTTCCGAAACACGCTTATAGAGAGGAATTTGTAGGAAACACGCAGCACAACAGAACCGCAGCGTACGTAGAAGATAC-GTGAGAGGATGTGAACAGCGAATTGACTCACAAATT-ACCTCTAGAAGAAGAACACGTTTCCGAAGAACCCCCAGCGAAGCACGA	
Rc_rpe38	REACTTCTTTTCGAACTCGCTTATAGGGAGGAATTTGGAGGAAACATGGAACGCAGCACCGCAGCGTATAAAAAGGATGCGAGTACCGGATTGACGTATAAATT-ACCCCTAGAAGTAGAGTTCCAAAAAGAAGTCT 1	144
Rc_rpe39	AGACGTCT-TACATAACGCAGCTAATAACAAGAAATTTGAAGGAGACACTTATGT-AAGACCACAGCGTACACT 1	141
Rc_rpe40	AGAATTCTT-ACAAACGCTTAGTAATAAGGAGGAATTTGTAGGAGACA-AGTTATGTAGGAAGTCG	
Rc_rpe41	AGCCTCCT-TGCAAAATTAAACTTATAGAGAGCAATTTGAAGGAAACACTGCAGAATGCAGAACCGTAGCGTAG	
Rc_rpe42	AGACCTATTCAGAAACTCGTTTATAGGGAGGAATTTGAGGGAAACACAGAATGCAGAATCGCAGCGTACAACTTGTAC-GTAAGGATTCGACGAACGAACTCGACGTACAAATT-ACCCCTAGAAGAATAGGTCTATATTTGAGA	
Rc_rpe43	AGAAATCT-TTCCAAAGTA-GTTTATAGAGAG-GAATTTAAAGGATACACGGAAGCACTTGCCGCTGCAGCATATATAGACATAC-GTGAAAATTAGGGATTGACGAATTGACGTACAAATT-GCCTTTAGAAGGATACAAGTATATAC-AAGAAGTTT 1	
Rc_rpe44	AAACTTAG-TGCATAACCTATCTTATAAAGAGAAATTTTAAGGAAACACGGCACGCCAGCACCGCACC	142
Rp_RP474	AGATATTTTTCTAAACCAGCTTATAGAAACGCATTTAAAAGCGAATACAATACGTGCCCACCACAGCGTATAAAAAAGTATGATCCTAGAACGTA-TCCTCTAGAAGTACCGCTTGGAAAGATGTCT 1	138
Rp_сокВ	AGATATTGGTCCAAACAATCTTATAAAAAGTTAAAAAGTAGATCAAGAACATAACACCAGAATACACAAACGTAT-GTAAAAGCACGAGTCTAGCTTCGACGTATACAT	
Rp_RP688	AAACTTTT-TGTATAACATAACTAATAGAGATGGATTTAAAGGATACAAGGAATGCAACGCTGCTGCATAC	144
Rp_kdtA	AGATTTCA-TACAAATGTCTGTTAATAAAGAGGG <mark>ATTTACAGAC</mark> CACAATTATGC-ACACATCTTATGTAGACATGC-ATAGAA <mark>ATGCAAGTCTAATGTATAAATT</mark> -ATGTATAAATT-ATGTATAAATT-ATGTATAGAAGAAGTTATGC-ACACAGTCT 1	
Rp_alr	AGAGGTTT-CGTCTAATCTGTCTTATACAGAGGAATTTGAAAGCAACCAGCAGCGTCTTACTACCACAGCGTGTATAAATAAAT-GTCCAGATTGACTCCCCCAAATT-ACCTTTAAAAAGCAACGTGTACGTCTTA	
Rp_RP545	AGATATCTCTCTAAACAAACTGATAGAAACCAATTTACTAACTAACAACACGTAGTAGTATAA-GCA	
Rp_lysC	ATACCTCTTGTAAAATCCACGTATATGGAAGAATCTGCACTAAAATACGAAACACAGCACTAAA-ATAGACATAC-CTGAGGATGCTAGAGTAT	
Rp_pyrG	GCACATATTTCCAAATGT ACTTATAGTGAA GCAGATAGAAAT TTTTAGAAATATATACAATAAATAAATTAACTTGTCTACAAATAAAT	
Rp_RP404	AGACATTTTTTCTAAACTA - ACATATAGCAAG-AAATTTAGAATTCGAGAATGCACCT 1	
Rp_rpe55	AGACTTCT-TGCATAAGATAGCTAATAATGCTAAATTTGTAAAAAACCCAGCACATAGTAGAATAAG-STGAAAATACGAGA-AATAGAAGAGTACTGAAATGGACATACAAATGGACATAGAAAGAGGCCTATAG-AGGAAAGGCT	.35
Rh_polA	AGGCCTCTTTCAAAACTCGCTTATAGAGAGGAATTTAAAGGAGACACGGAACGCAGCACCGCACCGCA	144
Rf_polA	RGACATCTTTCTAAACCAGCTTATAGAGAGGAATTTAAAGGAGACACGGAAGCACTTGCCACCGCAGGGAGAGCACTACAAAAGCGGATGCGAGTCGACGGCGTCCTAAAATT-ACCTCTAGAAAACGAAGTTTGGGAAAACGACCCCCCCAGAGTCGACGACGACGACGACGACGACGACGACGACGACGACGAC	147
0.0	$1 \dots \dots 10 \dots \dots 20 \dots 30 \dots \dots 40 \dots \dots 50 \dots \dots 60 \dots \dots 70 \dots \dots 80 \dots \dots 90 \dots \dots 100 \dots \dots 110 \dots \dots 120 \dots \dots 130 \dots \dots 140 \dots \dots 160 \dots 160$	

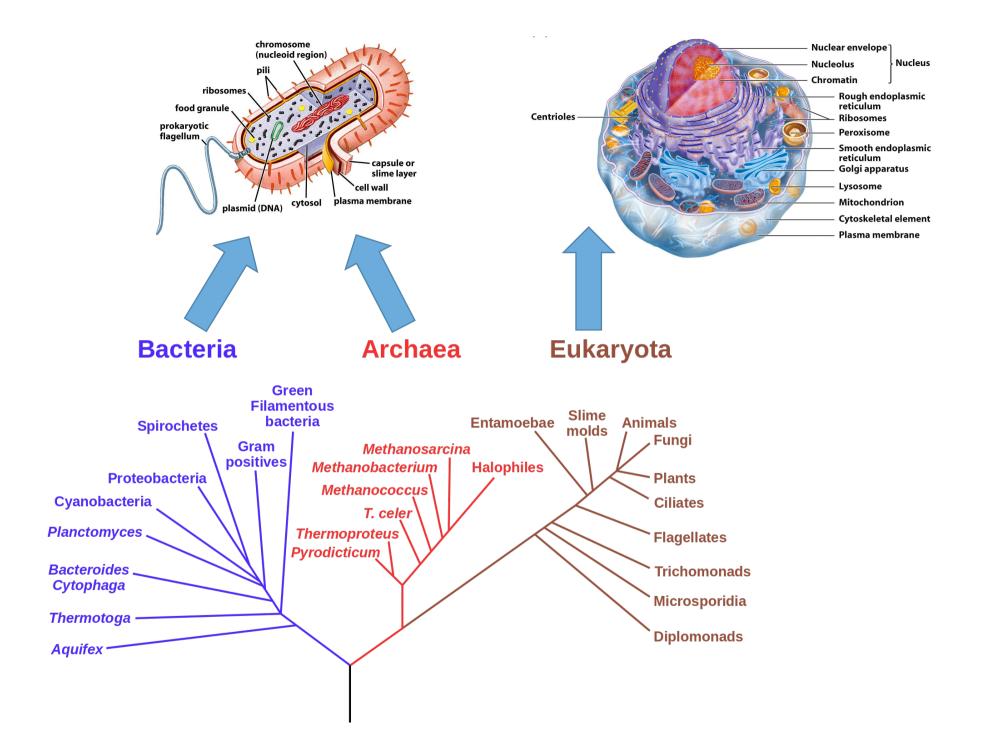




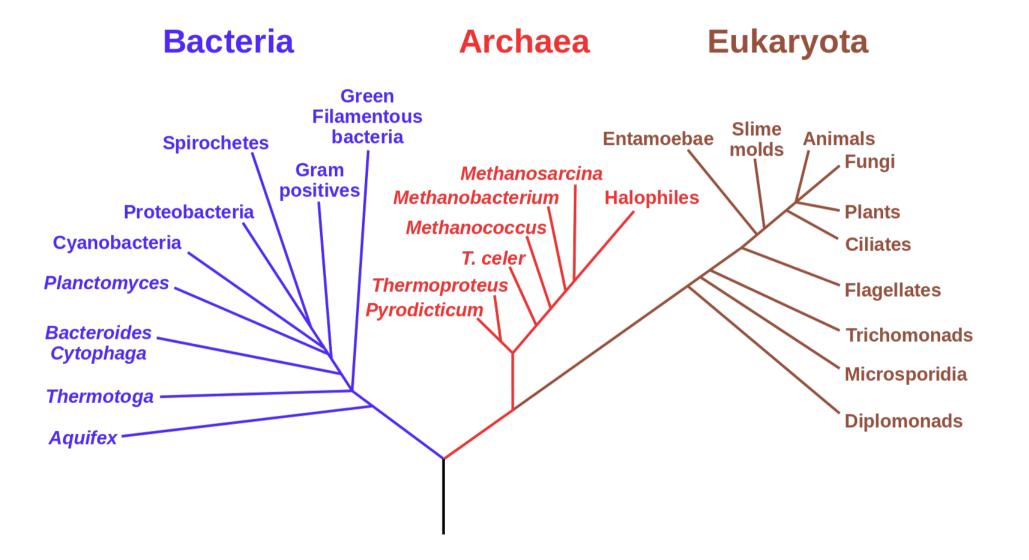


Phylogenetic Tree of Life





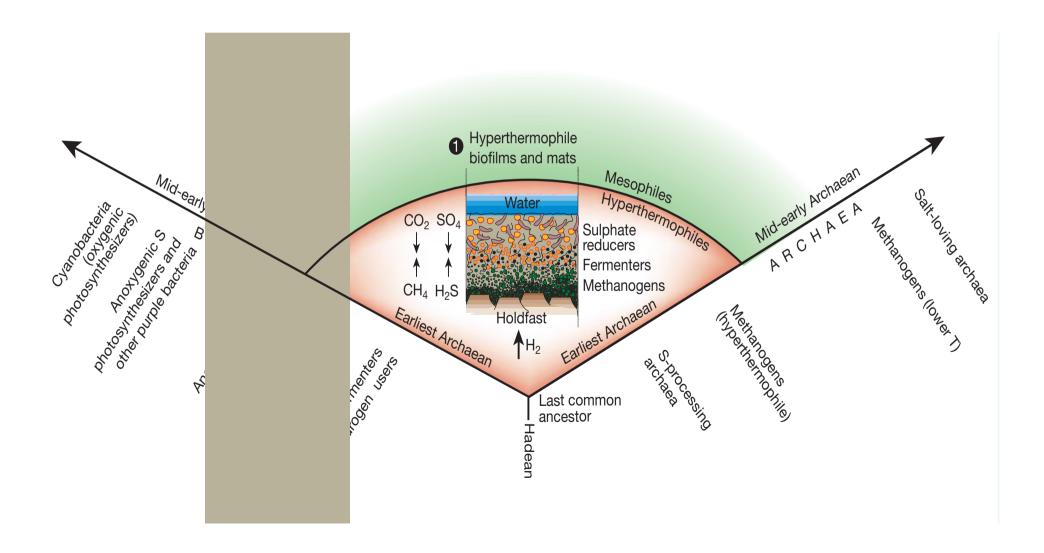
Phylogenetic Tree of Life

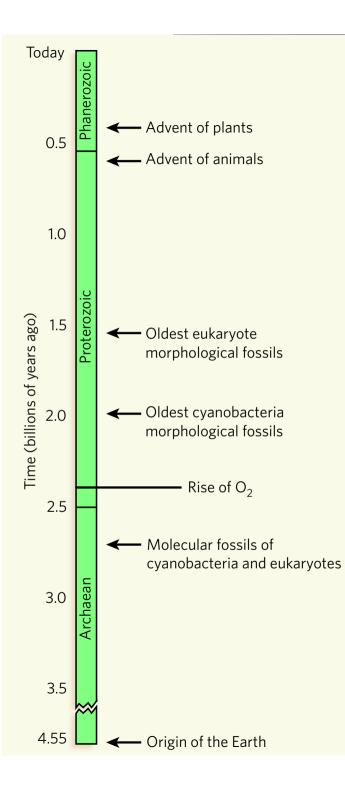


insight review articles

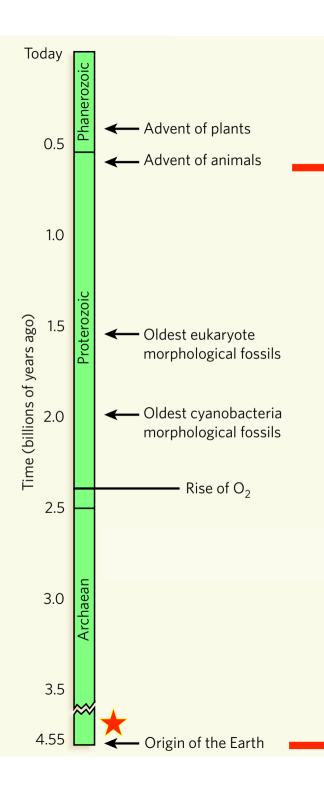
The habitat and nature of early life

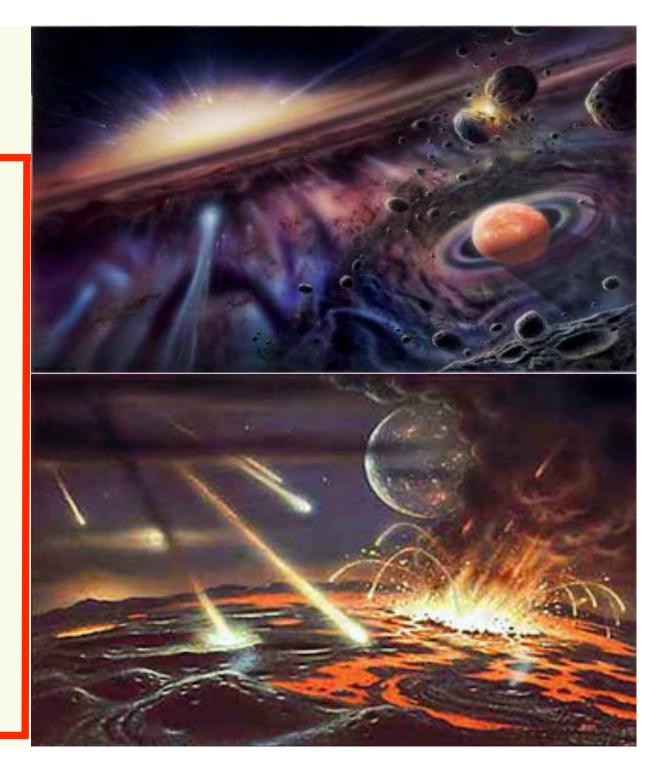
E. G. Nisbet* & N. H. Sleep†

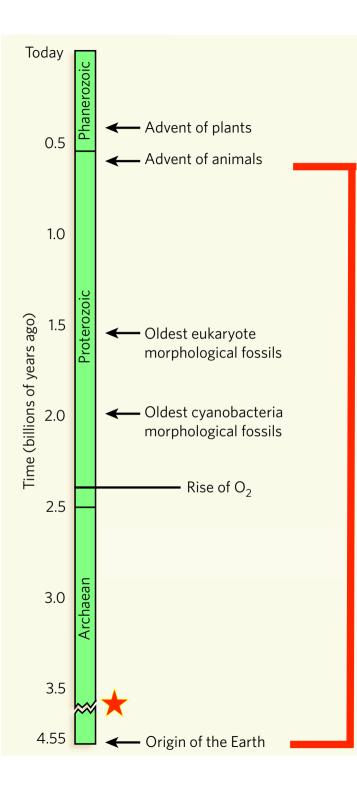


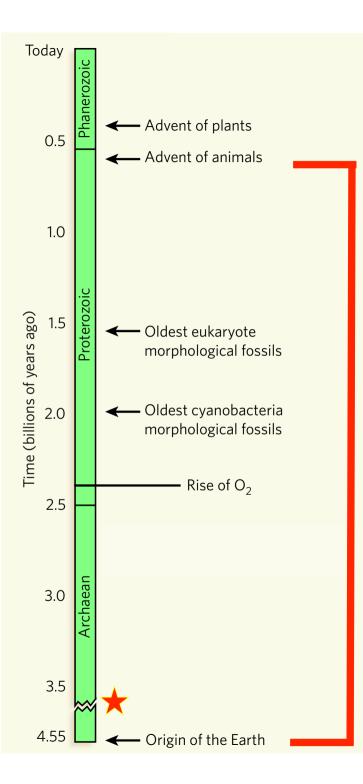




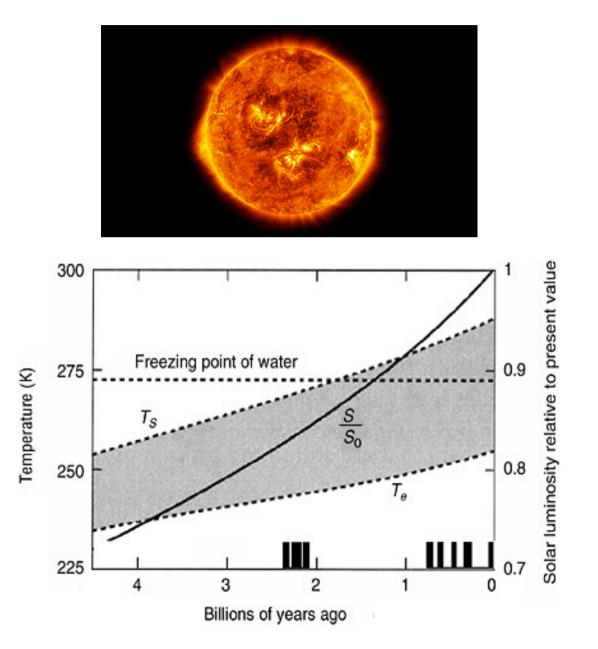


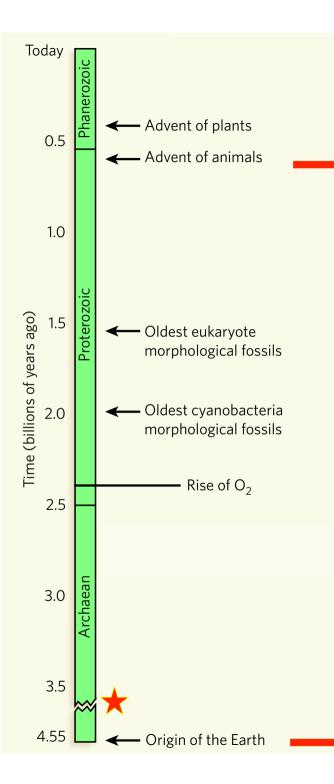


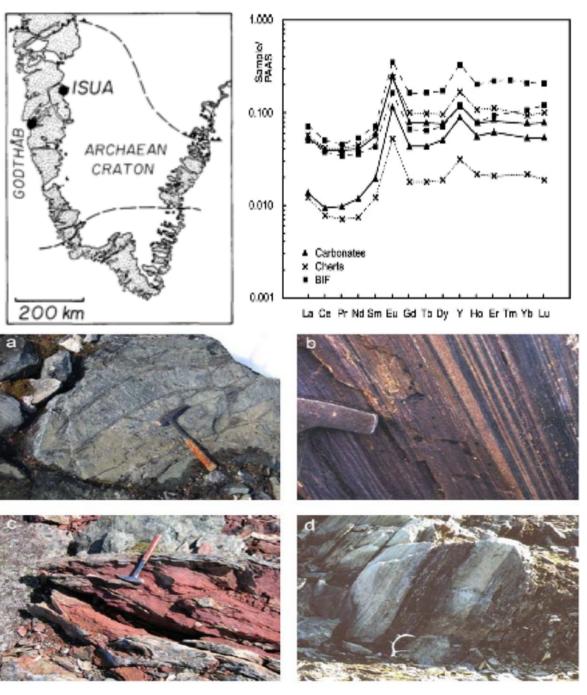




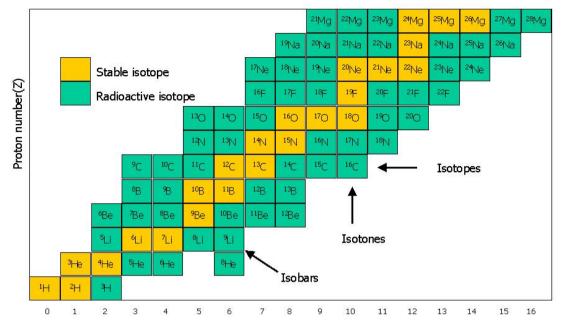
Le paradoxe du jeune soleil faible





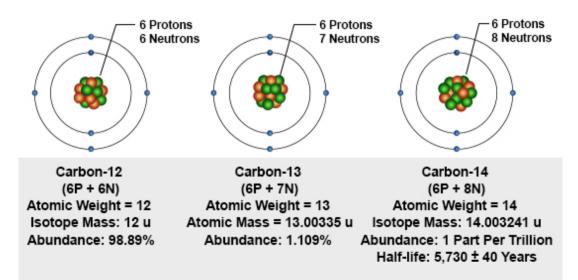


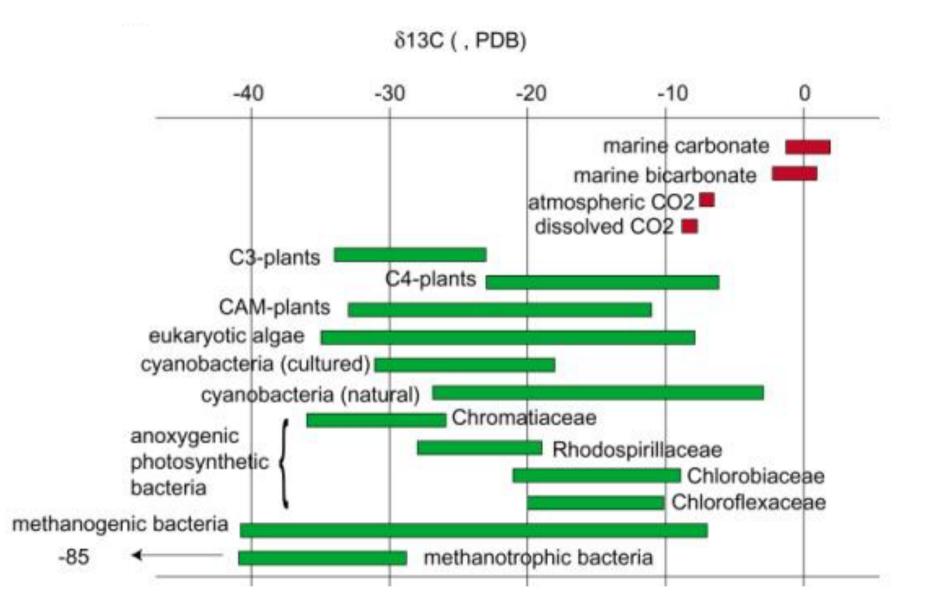
Nutman et al. (2009)

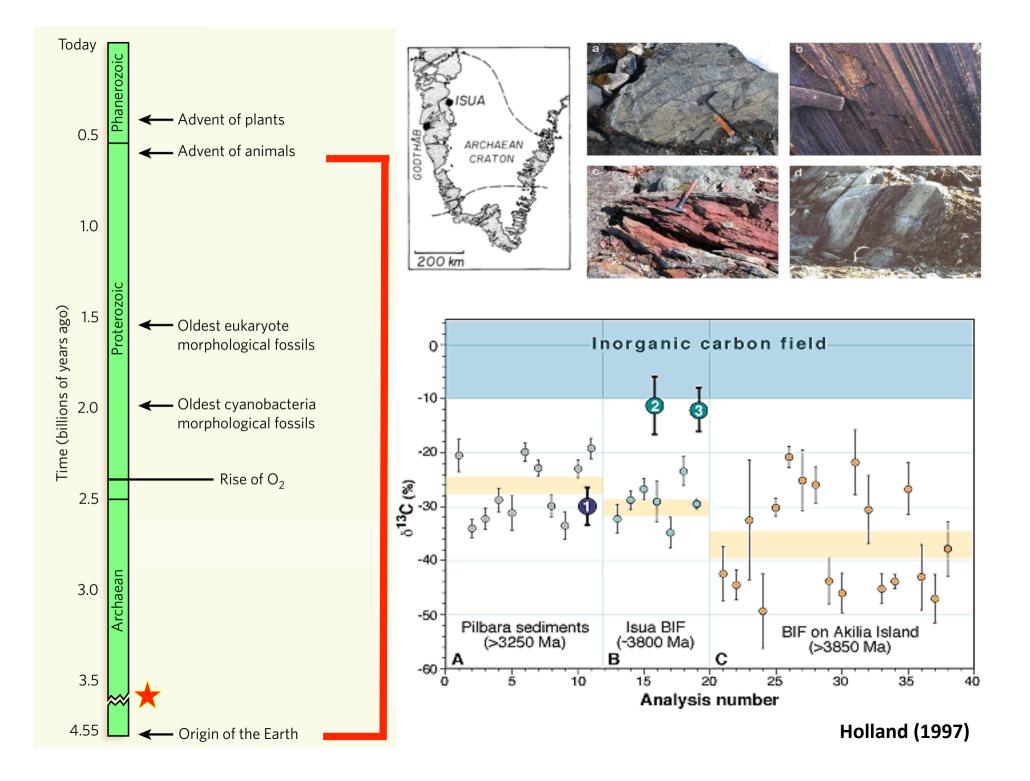


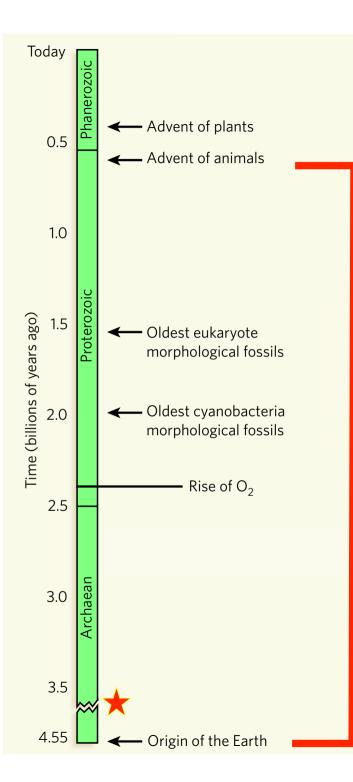
Neutron number

NATURAL ISOTOPES OF CARBON



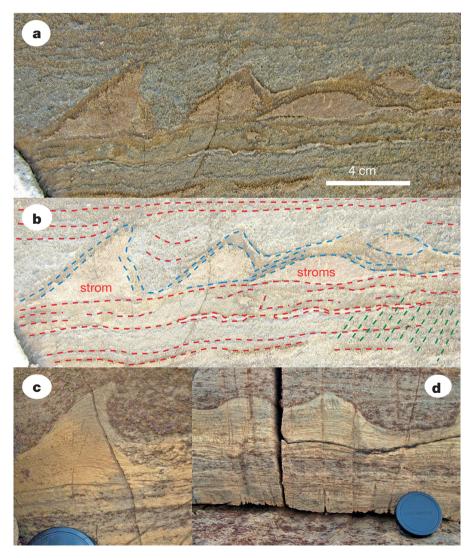


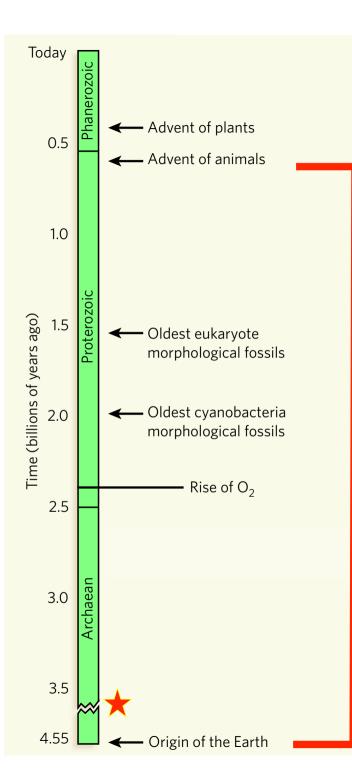




doi:10.1038/nature19355

Rapid emergence of life shown by discovery of 3,700-million-year-old microbial structures

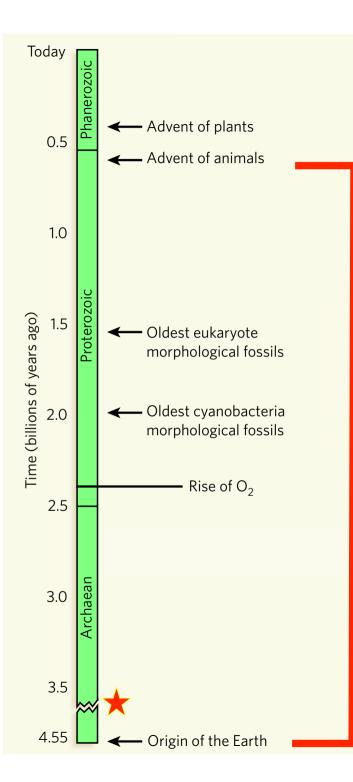




doi:10.1038/nature19355

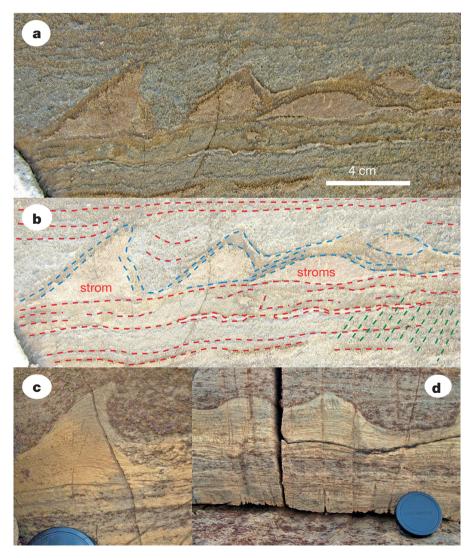
Rapid emergence of life shown by discovery of 3,700-million-year-old microbial structures





doi:10.1038/nature19355

Rapid emergence of life shown by discovery of 3,700-million-year-old microbial structures











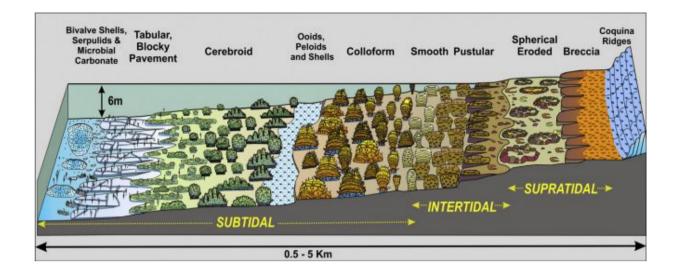






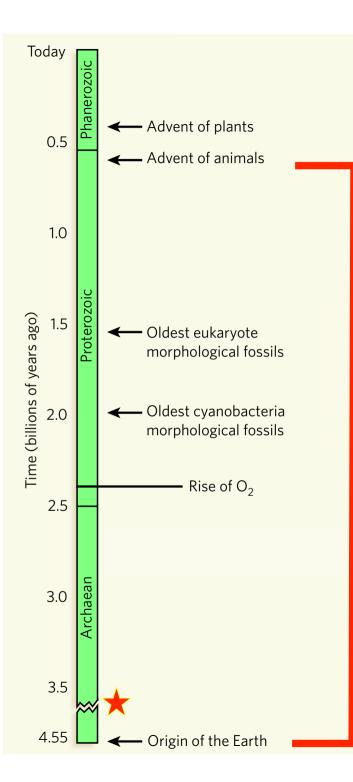






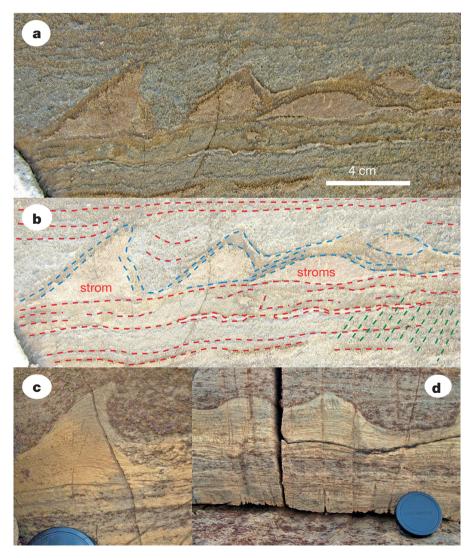
Late STROMATOLITE TAXA PER 50 MYR INTERVAL Proterozoic 400 Cambriandecline **Early Ordovician** resurgence Ordovician-% present-day Archaean-100 episodic REEFAL MICROBIAL CARBONATES Proterozoic decline increase 200 - 50 ПП _0000 3000 2500 2000 1500 1000 500 0 **Riding (2006)** AGE IN MILLIONS OF YEARS

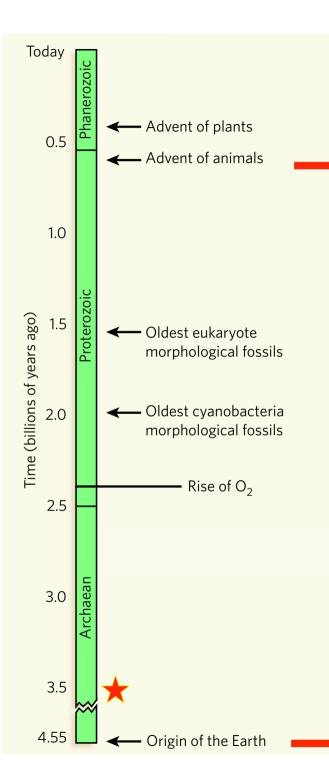
Proterozoic peak



doi:10.1038/nature19355

Rapid emergence of life shown by discovery of 3,700-million-year-old microbial structures





nature

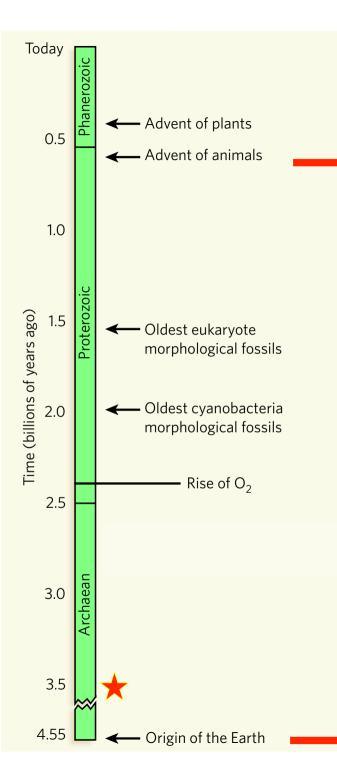
ARTICLES

Stromatolite reef from the Early Archaean era of Australia

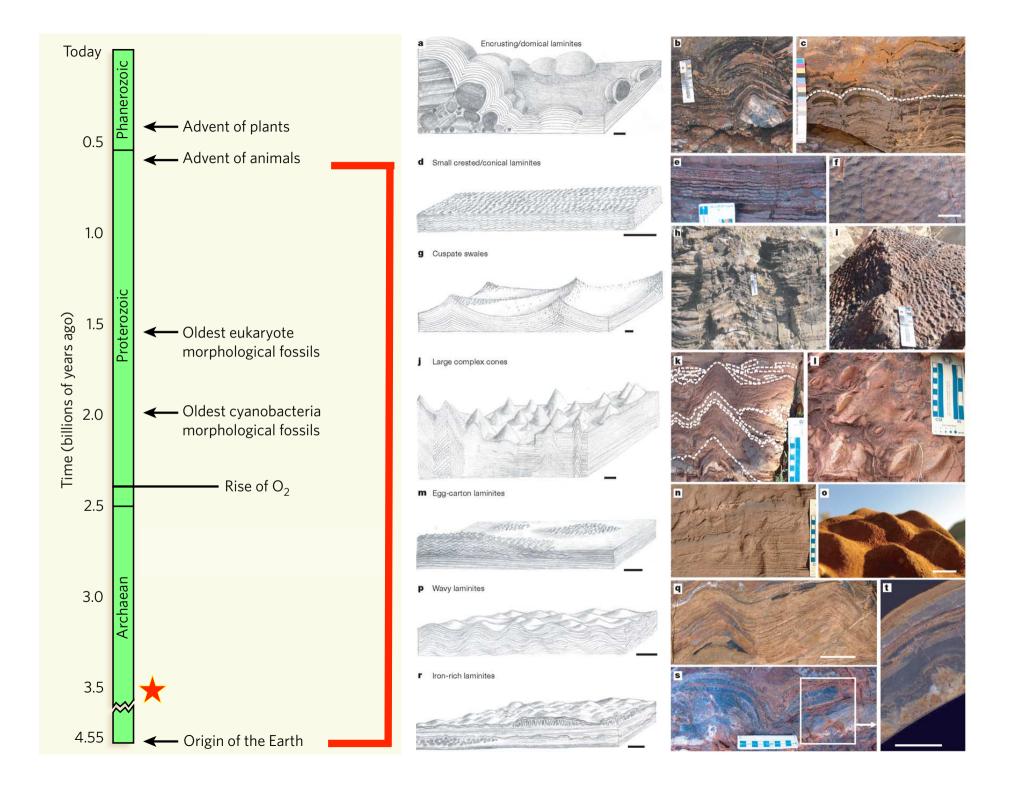
Abigail C. Allwood^{1,2}, Malcolm R. Walter^{1,2}, Balz S. Kamber³, Craig P. Marshall^{1,4} & Ian W. Burch²

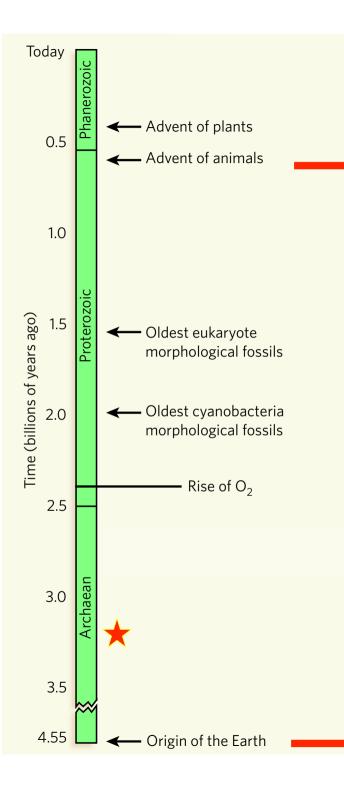
Vol 4418 June 2006 doi:10.1038/nature04764





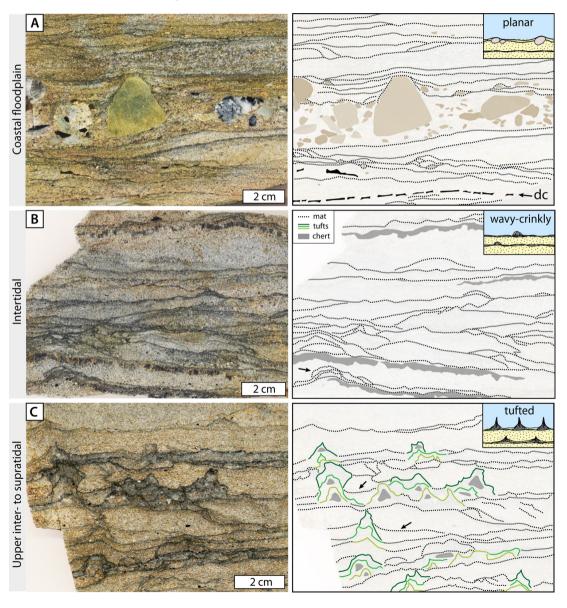


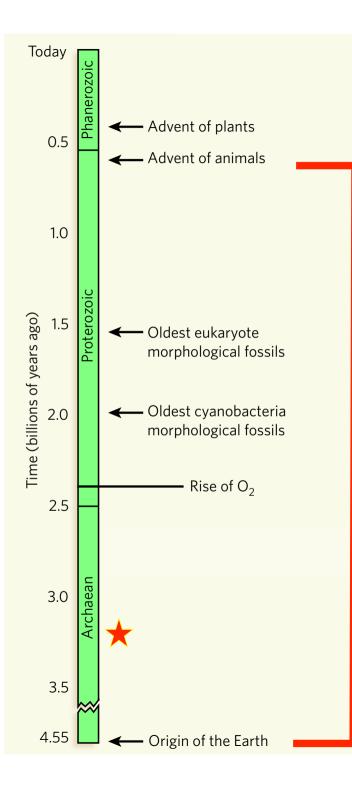




Morphological adaptations of 3.22 Ga-old tufted microbial mats to Archean coastal habitats (Moodies Group, Barberton Greenstone Belt, South Africa)

Martin Homann^{a,*}, Christoph Heubeck^b, Alessandro Airo^a, Michael M. Tice^c



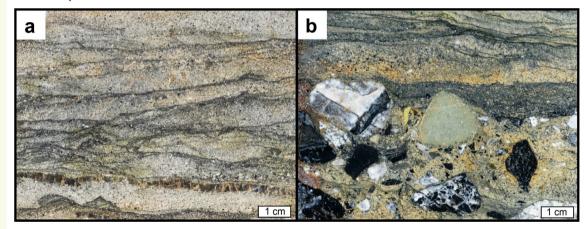


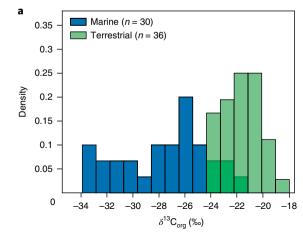
Microbial life and biogeochemical cycling on land 3,220 million years ago

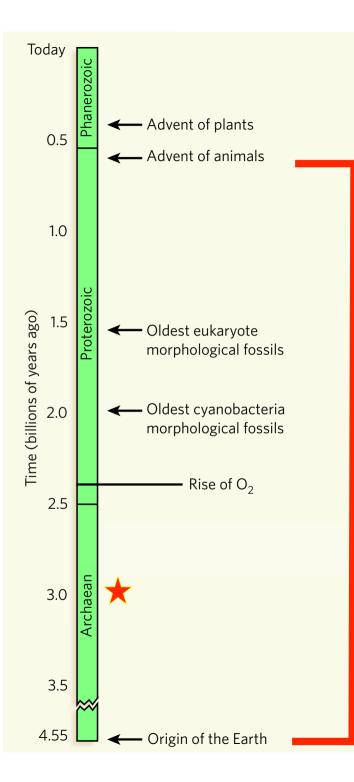
Martin Homann^{1*}, Pierre Sansjofre¹, Mark Van Zuilen², Christoph Heubeck³, Jian Gong², Bryan Killingsworth¹, Ian S. Foster¹, Alessandro Airo⁴, Martin J. Van Kranendonk⁵, Magali Ader³ and Stefan V. Lalonde¹

Tapis Microbiens Marins

Tapis Microbiens Terrestres



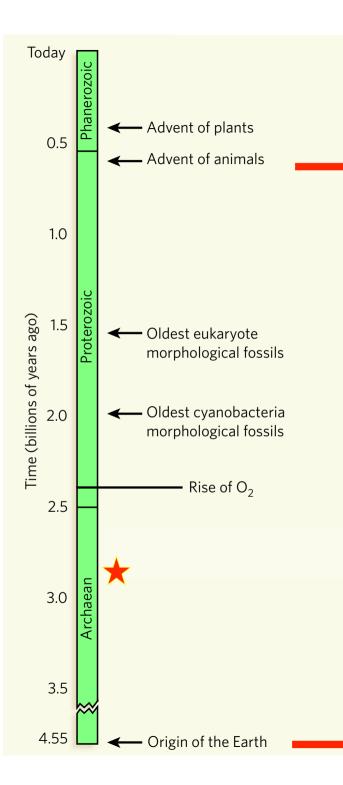




SILICICLASTIC-CARBONATE TIDAL DEPOSITS FROM THE 3000 M.Y. PONGOLA SUPERGROUP, SOUTH AFRICA

V. von BRUNN and T.R. MASON







Contents lists available at ScienceDirect

Earth-Science Reviews



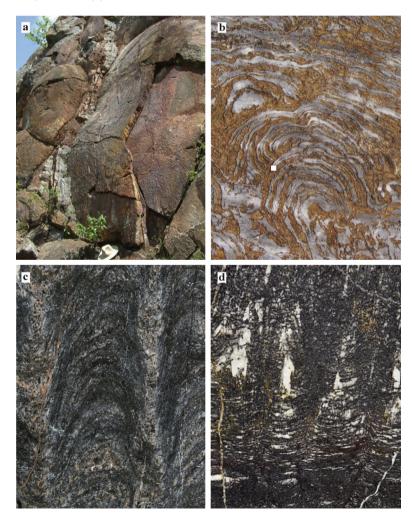
journal homepage: www.elsevier.com/locate/earscirev

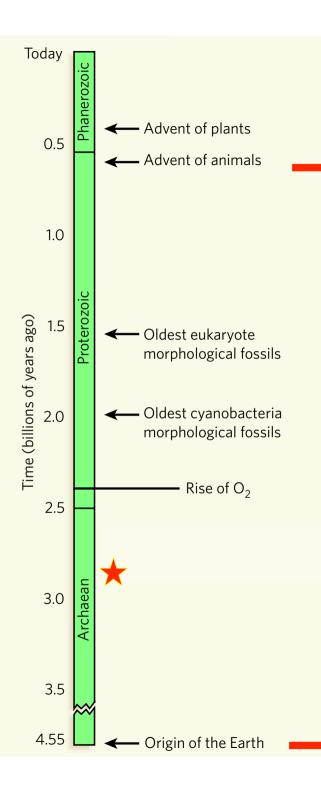
Steep Rock Lake: Sedimentology and geochemistry of an Archean carbonate platform

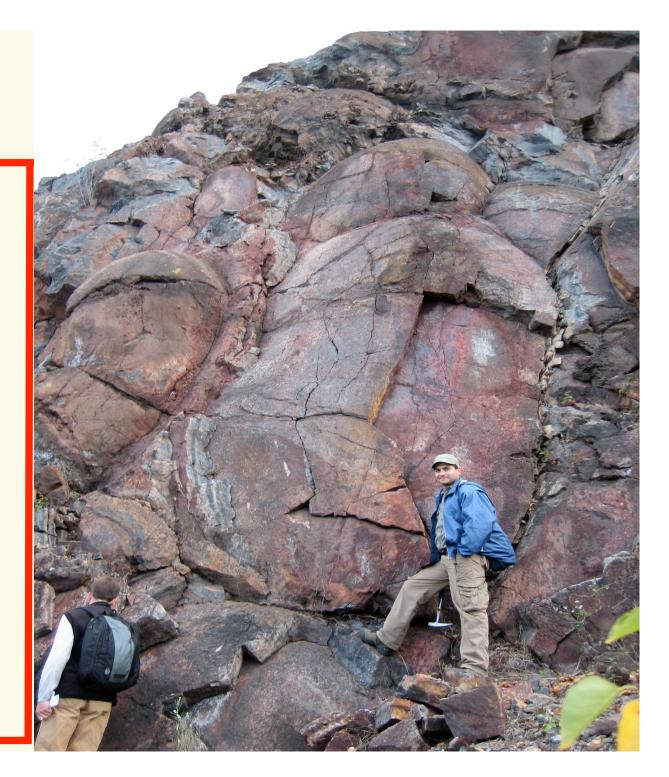


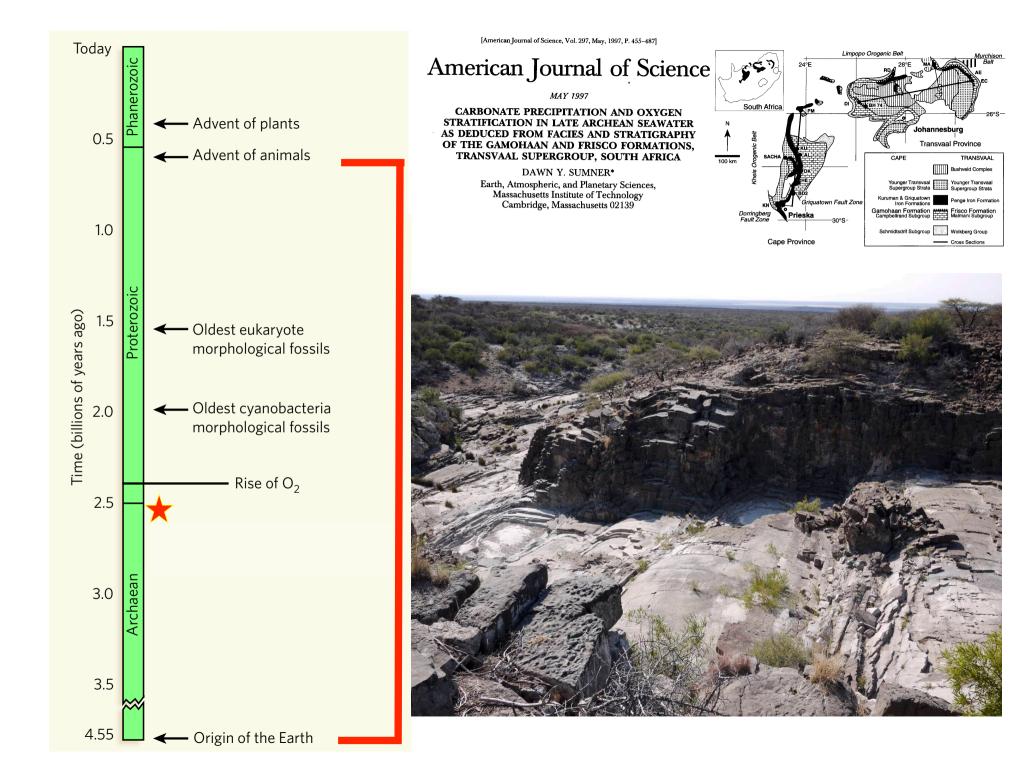
Philip Fralick^a, Robert Riding^b

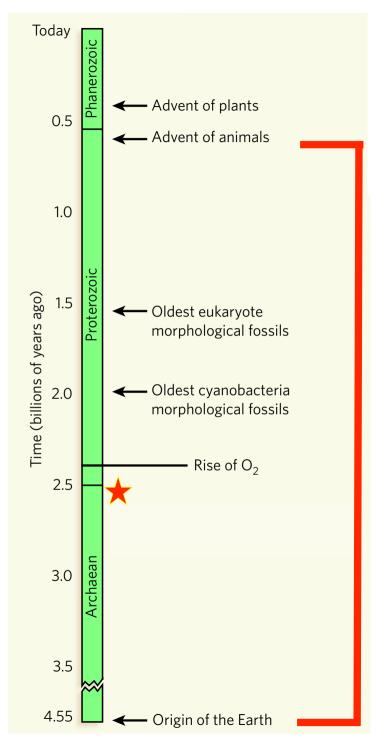
^a Department of Geology, Lakehead University, Thunder Bay, ON, P7B 5E1, Canada ^b Department of Earth and Planetary Sciences, University of Tennessee, Knoxville, TN 37996, USA

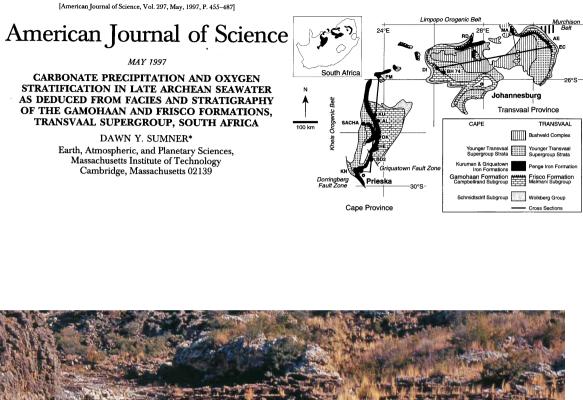


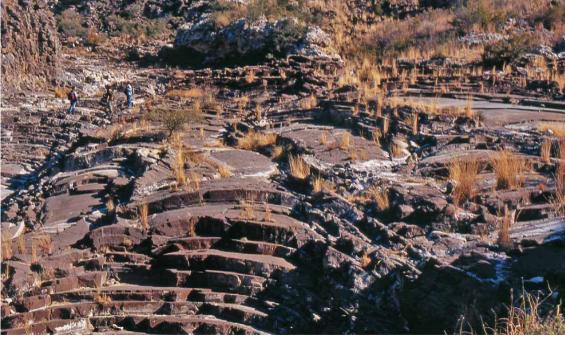


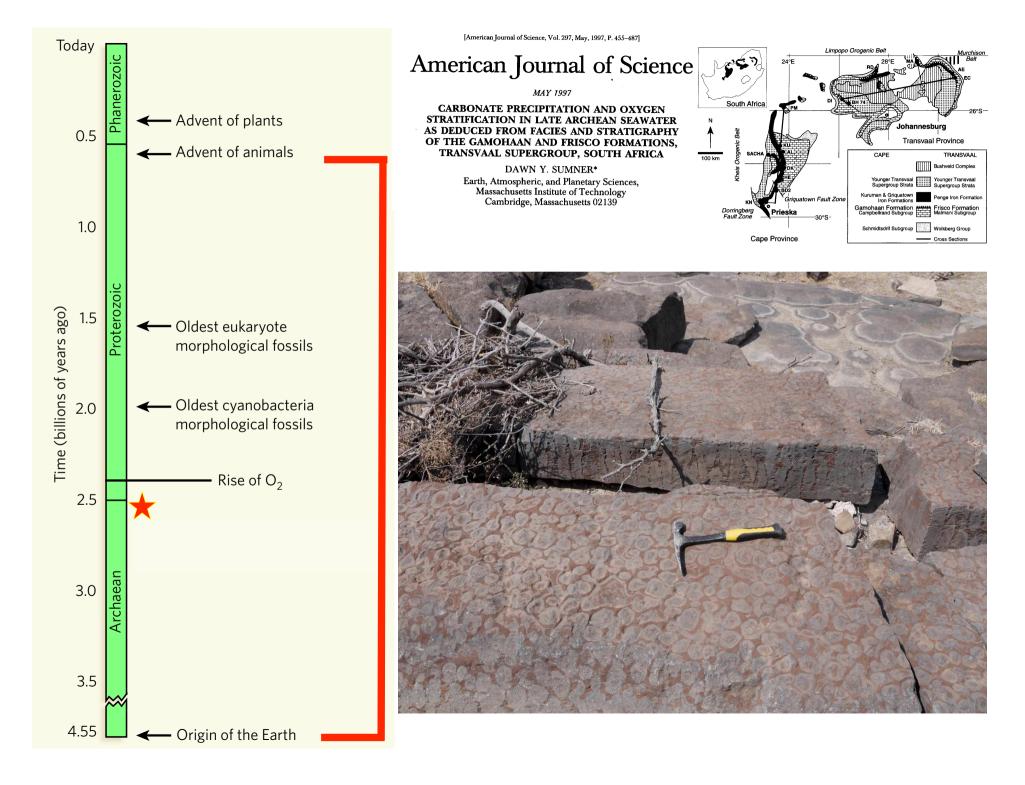




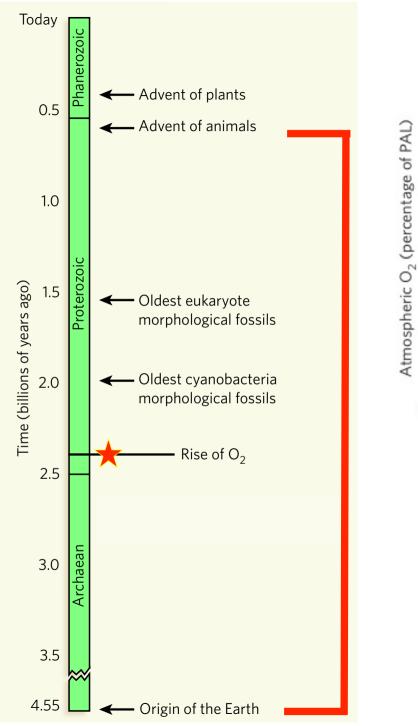


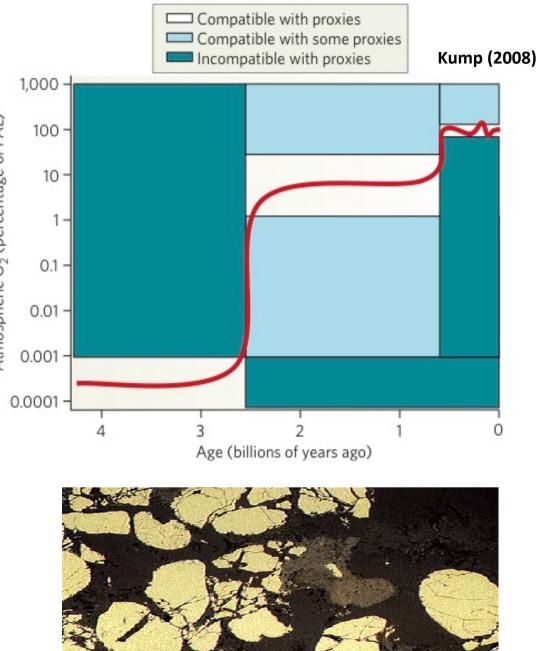


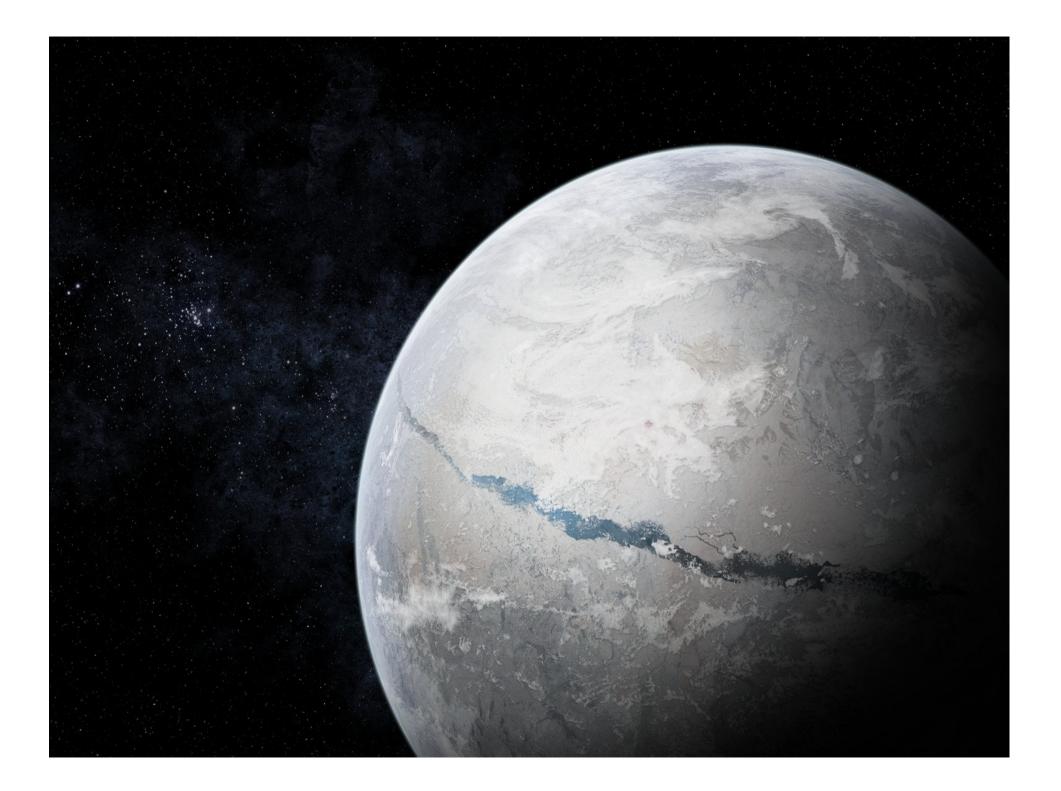


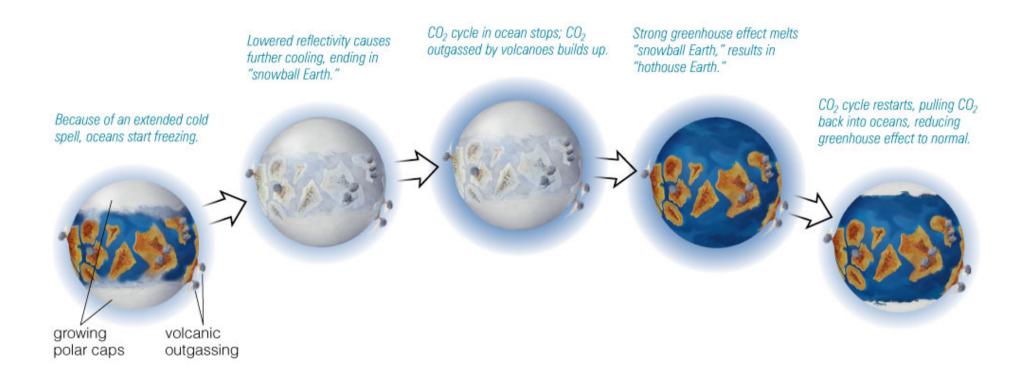






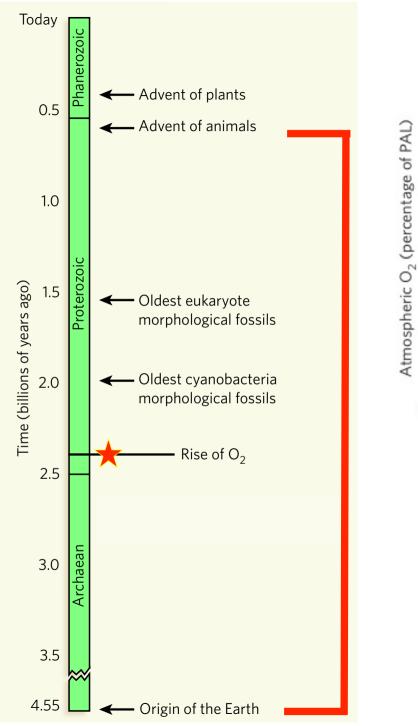


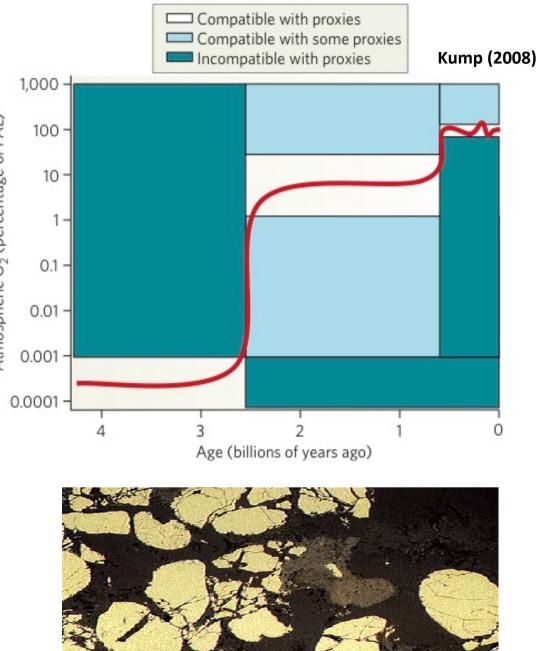


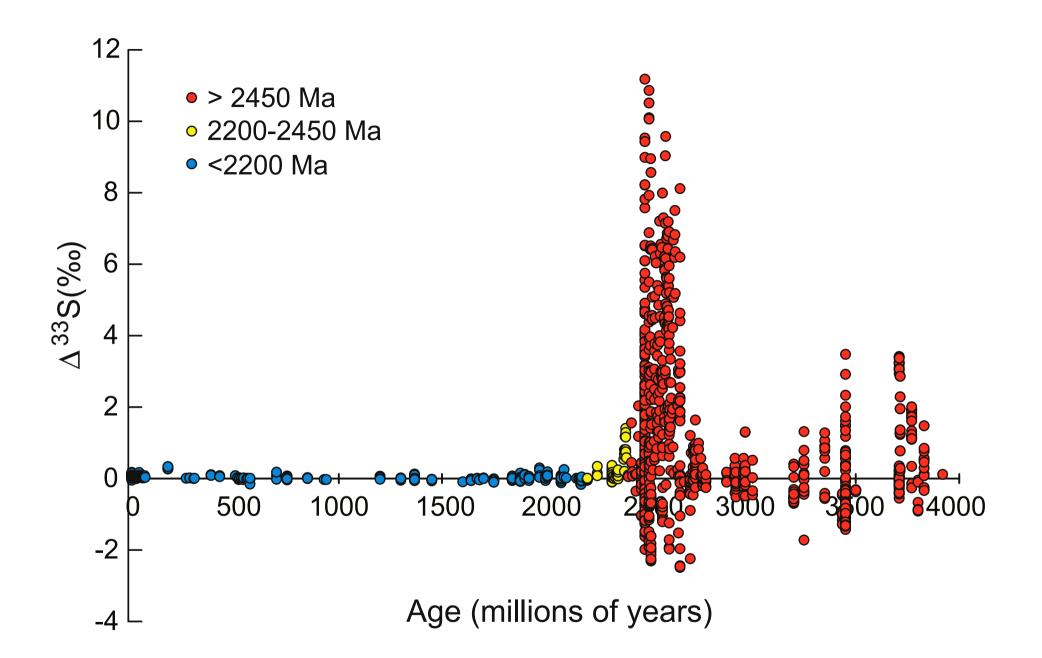


© 2006 Pearson Education, Inc., publishing as Addison Wesley









Lowenstein, Kendall, and Anbar (Treatise on Geochemistry, 2014)

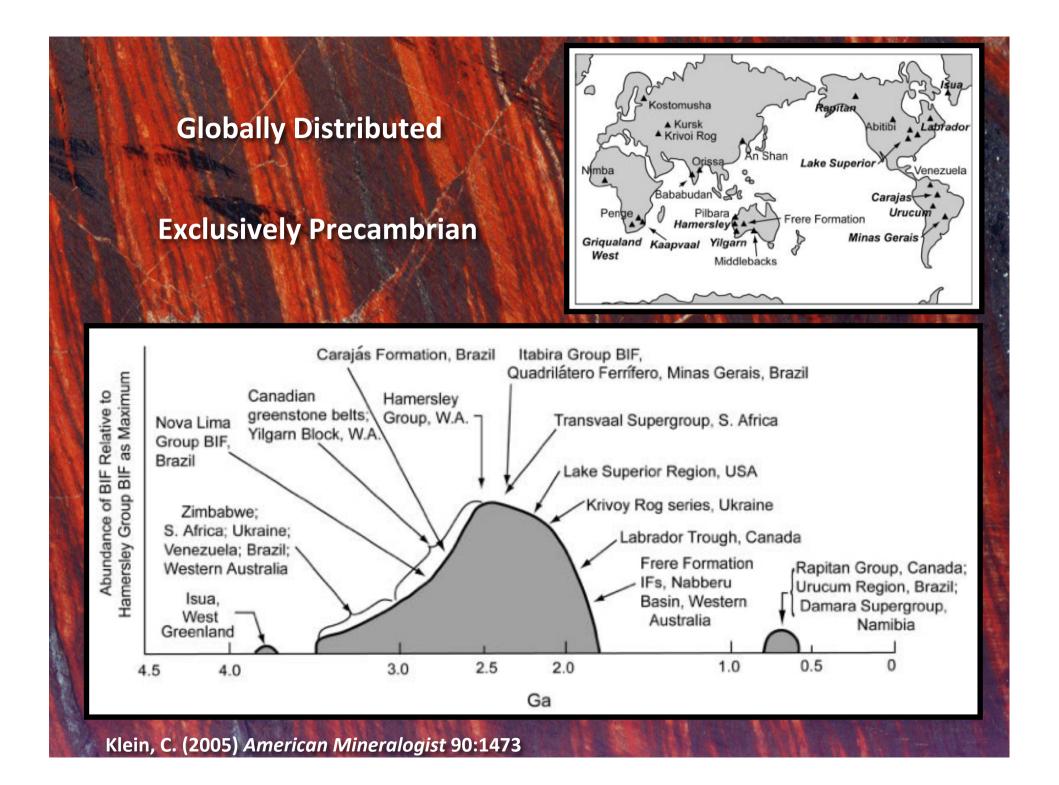
Precambrian Iron Formations

Iron rich (20 - 40 wt. %)

Silica rich (40 - 60 wt. %)

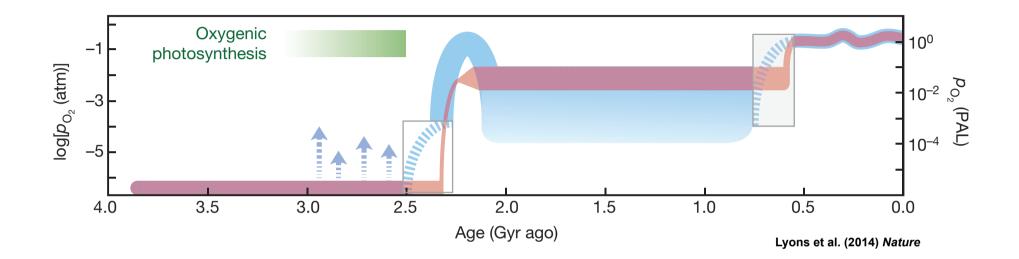
Marine Chemical Sediments

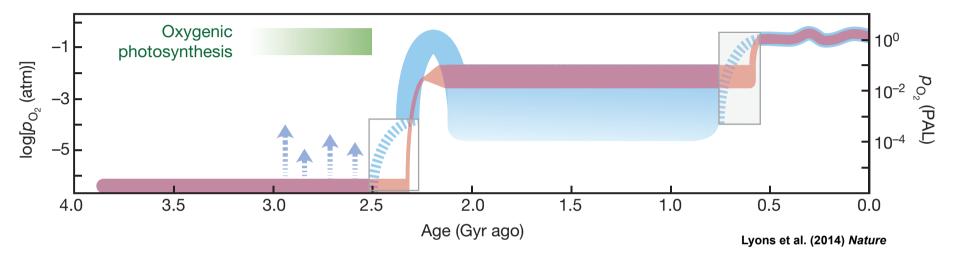
World's major source of iron



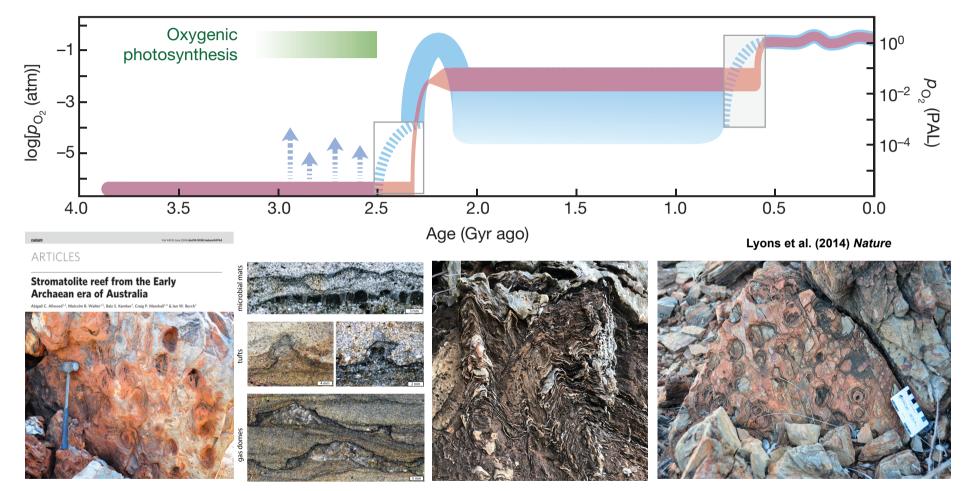




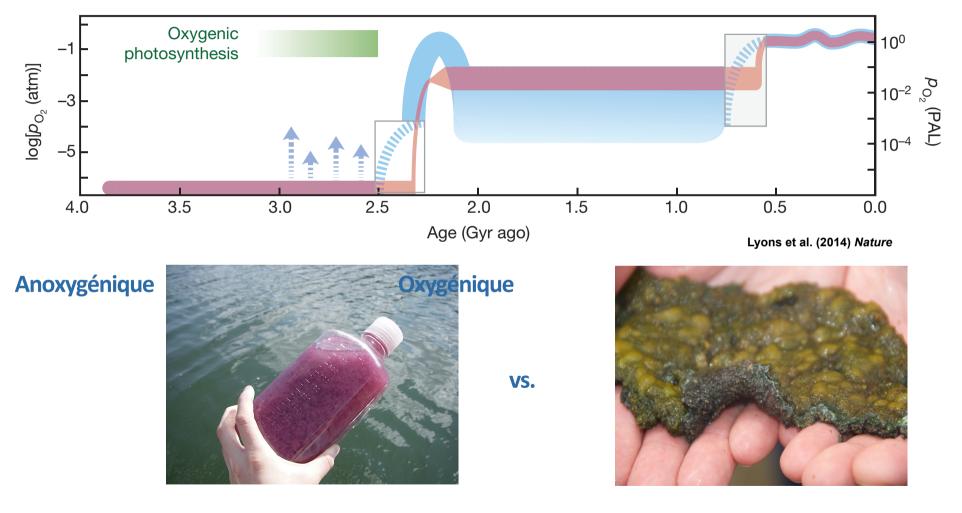




Les origines de la photosynthèse oxygénique ne sont pas très claires...



Les origines de la photosynthèse oxygénique ne sont pas très claires...



Les origines de la photosynthèse oxygénique ne sont pas très claires...

De nombreuses études suggèrent la présence d'oasis d'oxygène avant le GOE:



A Whiff of Oxygen Before the Great Oxidation Event? Ariel D. Anbar, *et al. Science* **317**, 1903 (2007); DOI: 10.1126/science.1140325



Available online at www.sciencedirect.com

Geochimica et Cosmochimica Acta

Geochimica et Cosmochimica Acta 86 (2012) 118-137

www.elsevier.com/locate/gca

Evidence for free oxygen in the Neoarchean ocean based on coupled iron-molybdenum isotope fractionation

Andrew D. Czaja^{a,b,*}, Clark M. Johnson^{a,b}, Eric E. Roden^{a,b}, Brian L. Beard^{a,b}, Andrea R. Voegelin^c, Thomas F. Nägler^c, Nicolas J. Beukes^d, Martin Wille^e



Atmospheric sulfur rearrangement 2.7 billion years ago: Evidence for oxygenic photosynthesis

Florian Kurzweil $^{\rm a,b,*}\!\!\!\!,$ Mark Claire $^{\rm c}\!\!,$ Christophe Thomazo $^{\rm d}\!\!,$ Marc Peters $^{\rm e}\!\!,$ Mark Hannington $^{\rm f}\!\!,$ Harald Strauss $^{\rm a}$



Contents lists available at ScienceDirect

Precambrian Research



Short communication

Identification of an Archean marine oxygen oasis

Robert Riding^{a,*}, Philip Fralick^b, Liyuan Liang^c



Oxygenation of the Archean atmosphere: New paleosol constraints

from eastern India

Joydip Mukhopadhyay¹, Quentin G. Crowley^{2*}, Sampa Ghosh¹, Gautam Ghosh¹, Kalyan Chakrabarti^{1,3}, Brundaban Misra^{1,3}, Kyle Heron², and Sankar Bose¹

geoscience

LETTERS PUBLISHED ONLINE: 23 MARCH 2014 | DOI: 10.1038/NGE02122

Evidence for oxygenic photosynthesis half a billion years before the Great Oxidation Event

Noah J. Planavsky^{1*}, Dan Asael², Axel Hofmann³, Christopher T. Reinhard⁴, Stefan V. Lalonde⁵, Andrew Knudsen⁶, Xiangli Wang^{1,7}, Frantz Ossa Ossa³, Ernesto Pecoits⁸, Albertus J. B. Smith³, Nicolas J. Beukes³, Andrey Bekker⁹, Thomas M. Johnson⁷, Kurt O. Konhauser⁸, Timothy W. Lyons⁹ and Olivier J. Rouxel²

LETTER

doi:10.1038/nature12426

Atmospheric oxygenation three billion years ago

Sean A. Crowe¹^{†*}, Lasse N. Døssing^{1,2*}, Nicolas J. Beukes³, Michael Bau⁴, Stephanus J. Kruger³, Robert Frei² & Donald E. Canfield¹



Archean "whiffs of oxygen" go Poof! Cyanobacteria at work Oxygen-producing photosynthesis must have evolved before the pervasive oxidation of the atmos JOSEPH L. KIRSCHVINK^{1,*}, TIMOTHY D. RAUB², & WOODWARD EARLY EARTH 2.4 billion years ago, but how long before is unclear. Geochemical analyses of ancient sedimentary suggest that cyanobacteria generated oxygen at least 3 billion years ago. ¹ Division of Geological and Planetary Sciences, California Institute D The analysis is further complicated ²Department of Earth Sciences, University of St. Andrews, St. by the presence of a thick, intrusive igneous sill within metres of the Singeni beds that were studied from a significant open-system, postdepositional alteration of the sedimentary rocks in this region of the Hamersley from drill core... ... additional samples that were Joydip N Brundaba Evider collected from a weathered outcrop ····Widespread highly-crystalline, hightemperature, late-stage chlorite veins, years I further away... ... could equally be that the preferentially developed within shale sedimentary geochemistry reflects the lithologies and concentrated in the "whiff" Noah J. Plana different forms of alteration Andrew Knuds Nicolas J. Beuk experienced by the core and outcrop and Olivier J. R rather than any primary feature... oxygenic photosy... ... It is also unclear whether Atmosph Florian Kurzweil^{a,b,*}, Mark Claire^c, Christor Sean A. Crowe¹†*, Lass Harald Strauss^a manganese oxides must indicate the presence of free oxygen....

European Research Council

Established by the European Commission

Earth's first biological bloom:

An integrated field, geochemical, and geobiological examination of the origins of photosynthesis and carbonate production 3 billion years ago

EARTHBLOOM Objectives

- When did oxygenic photosynthesis arise on Earth?
- * When did phototrophic life begin exerting control over the carbon cycle?



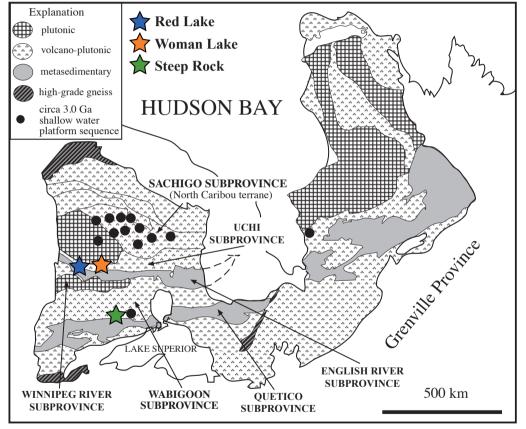


Trois sites mésoarchéens situés dans la Province Supérieure au Canada:

Red Lake Greenstone Belt	2,87 Ga
Woman Lake Greenstone Belt	2,86 Ga
Steep Rock Group	2,80 Ga



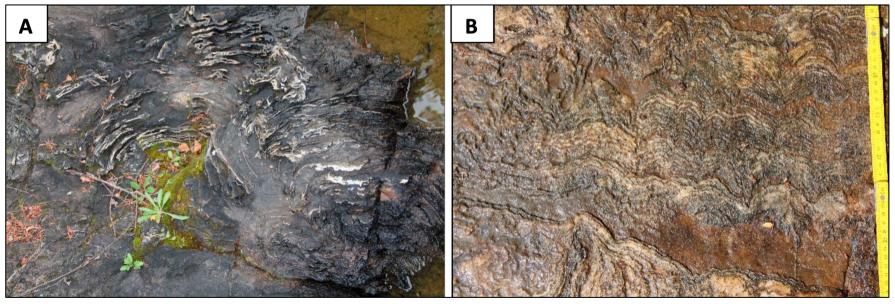




Modifié à partir de Kusky et Hudleston, 1999

Lithofaciès sédimentaires du Ball Assemblage au Red Lake

→ plus de 200 m de carbonates (dolomite et calcite), largement stromatolithiques, composés également de lits massifs de calcite et de couches de *crystal fans*

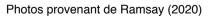


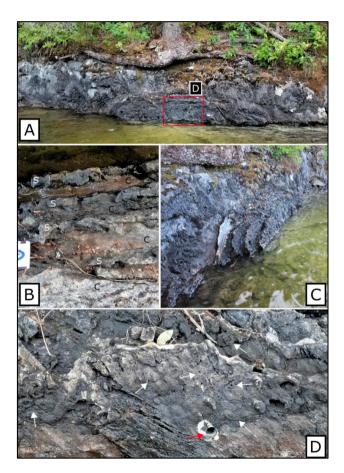
Stromatolithes dolomitiques en dômes (A) et stromatolithes calcitiques laminés (B) des carbonates de Red Lake. Photos de Afroz (2019)

Lithofaciès sédimentaires du Woman Lake Assemblage

- → grande diversité de microbialites:
- stromatolithes divers, thrombolithes, microbialites fenestrés

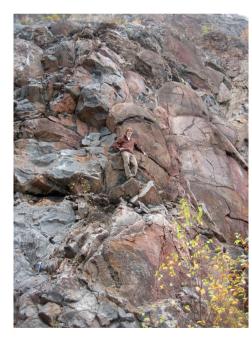






Lithofaciès sédimentaires du Steep Rock Group

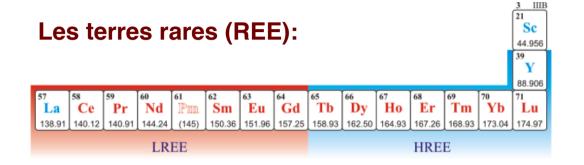
 grande diversité de microbialites, incluant des stromatolithes columnaires, stratiformes, fenestrés, dômes multi-métriques, et d'autres carbonates associés (grainstones, crystal fans)



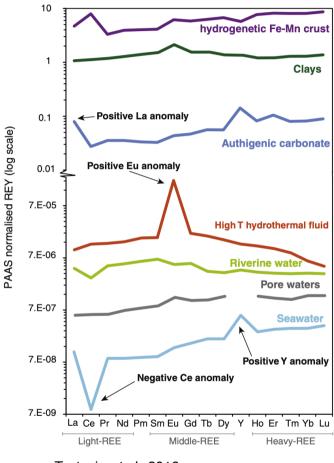




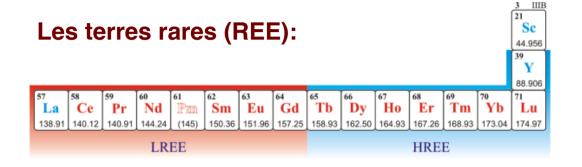
Images provenant de Fralick et Riding (2015)



- → comportement géochimique cohérent sauf dans certaines conditions
 - → puissants traceurs paléo-environnementaux
- → rayons ioniques modérés, ions chargés généralement (+III), peu mobiles et généralement bien conservés dans les roches carbonatées
- → fournissent des informations importantes sur la composition de l'eau de mer lors du dépôt des sédiments



Tostevin et al., 2016



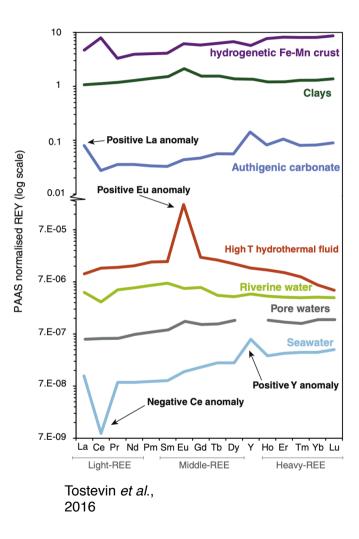
Plusieurs indicateurs utiles chez les REE (en incluant Y)

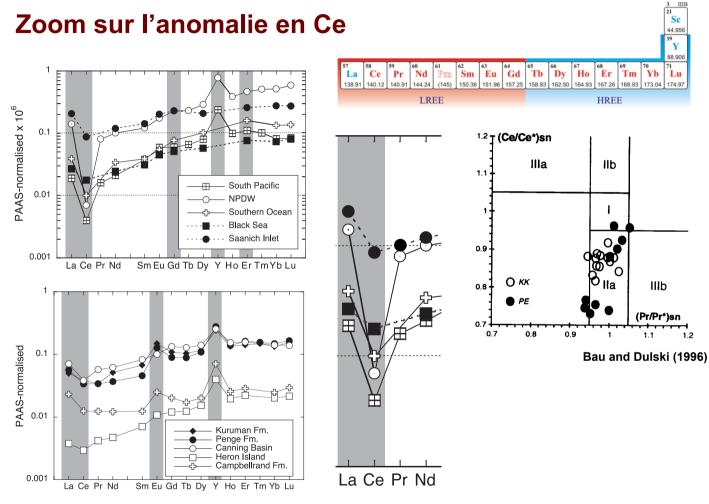
- \rightarrow Anomalie en La (La/La*):
- → Anomalie en Y/Ho: océan ouvert / fermé
- \rightarrow Enrichissement HREE:
- \rightarrow Anomalie en Eu (Eu/Eu*):
- \rightarrow Anomalie en Ce (Ce/Ce*):

EE: complexation (REE) CO_3^{2-} /Eu*): fluide haute température /Ce*): présence d'oxygène \rightarrow oxydation Ce(III) \rightarrow Ce(IV)

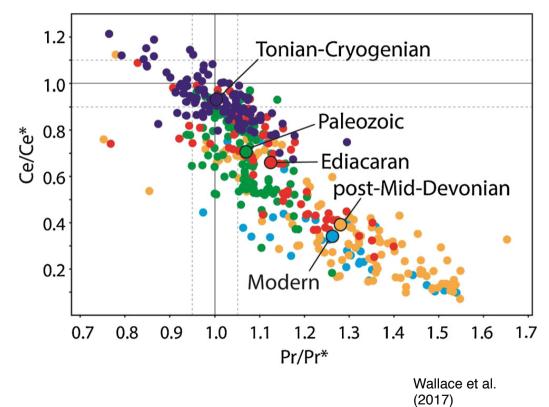
salinité

soluble \rightarrow insoluble





Bohlar et al (2004)



Anomalies en Ce au cours du Phanérozoïque

Anomalie en Ce dans les carbonates

→ traceur de l'oxygénation marine

Méthodes

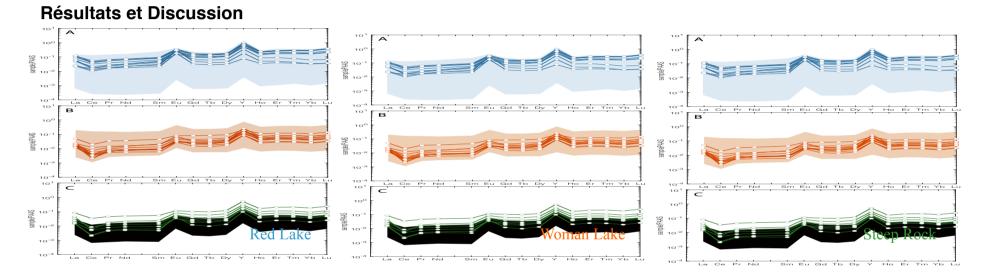
Digestion des échantillons carbonatés par « lessivage », 5 % Acide acétique

 \rightarrow pour éviter la dissolution des argiles et obtenir le signal authigénique des carbonates

Mesures des éléments traces sur HR-ICP-MS ElementXR

Effort collectif, données obtenues par Patry (Red Lake – NGI, réanalyse de tous sites), Homann, Sansjofre, Lalonde et Afroz (Red Lake), Ramsay (Woman Lake), et Wilmeth (Steep Rock).





Zones colorées: toutes les données carbonates du projet ERC EARTHBLOOM

Spectres individuels: échantillons avec anomalie en Ce sélectionnés pour datation La-Ce et réanalysés pour cette étude

Datation radiométrique ¹³⁸La-¹³⁸Ce

La méthode de datation radiométrique La-Ce se base sur la **désintégration du** ¹³⁸La vers le ¹³⁸Ce

Temps de décroissance très long → nécessite très haute précision

Min requis: ~0.000001 (2SE) sur le rapport 138 Ce/ 142 Ce \rightarrow 0.000000144 dans cette étude

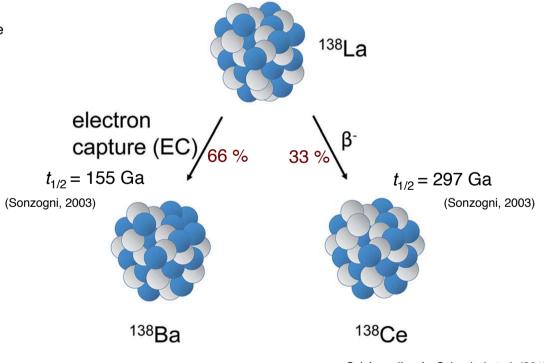
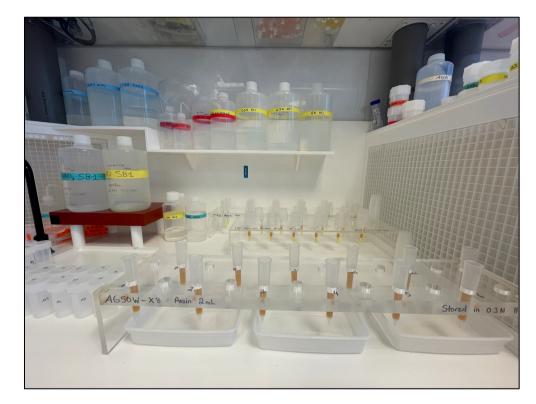


Schéma d'après Schnabel et al. (2017)

<u>Méthodes</u>

La **purification chimique du Ce** pour analyse nécessite le passage des échantillons à travers des **colonnes de résines échangeuses d'ions en quatre étapes**:

1 ^{re} étape:	résine TRU Spec				
2 ^e étape ∶	résine AG50W-X8				
3 ^e étape ∶	résine LN Spec				
4 ^e étape :	résine AG50W-X8				

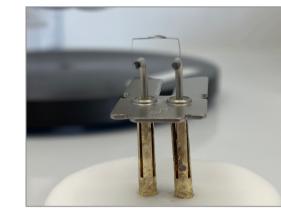


Analyses des isotopes de Ce par TIMS

Chargement sur filament Re avec activateur H_3PO_4

Analyses sur Triton nº 619 de Brest et Triton Plus du LMV (M. Boyet)

Analyses en oxydes selon Bonnand et al. (2019)





Triton nº 619, GO, Brest

Configuration des cages (*PT - mesures de peak tailing*):

	L4	L3	L2	L1	С	H1	H2	Н3	H4
Oxides	¹³⁴ Ba ¹⁶ O	¹³⁶ Ce ¹⁶ O	PT	PT	¹³⁸ Ce ¹⁶ O	PT	х	¹⁴² Ce ¹⁶ O	¹⁴² Ce ¹⁸ O
Masses	150	152	152.64	153.37	154	154.61	x	158	160



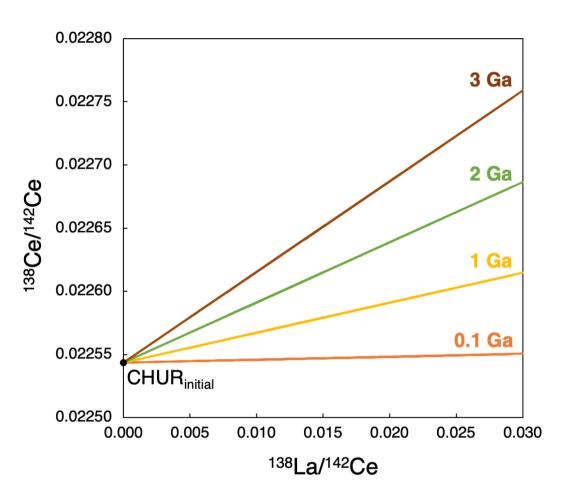
Triton Plus, LMV, Clermont Ferrand

Résultats La-Ce

Un diagramme isochrone

→ différentes pentes pour différents âges

Nous pouvons **placer nos données sur des isochrones théoriques** prédites pour des anomalies en Ce d'âges divers

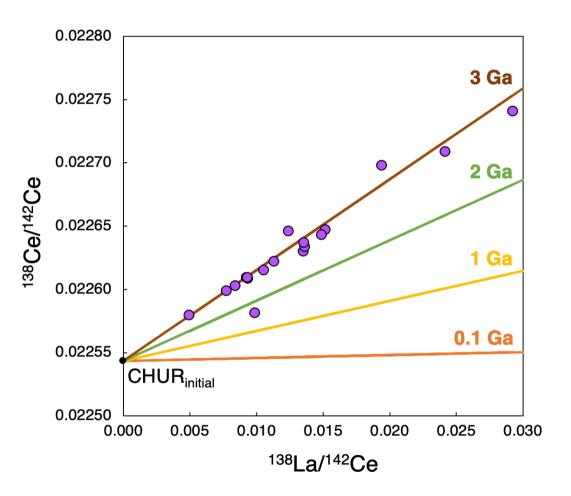


Résultats La-Ce

Rappel du diagramme isochrone

→ différentes pentes pour différents âges

Nous pouvons **placer nos données sur des isochrones théoriques** prédites pour des anomalies en Ce d'âges divers



Résultats La-Ce

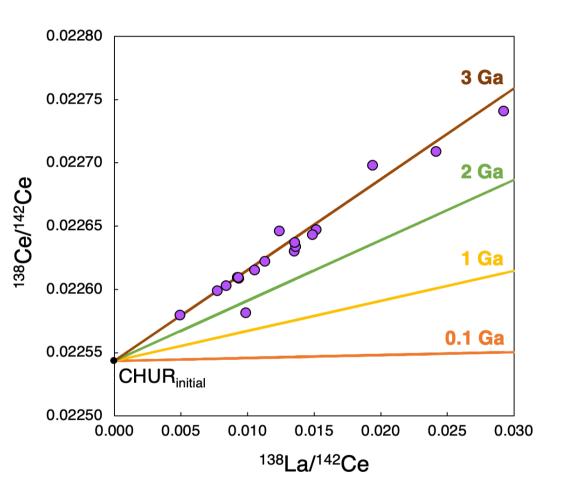
Rappel du diagramme isochrone

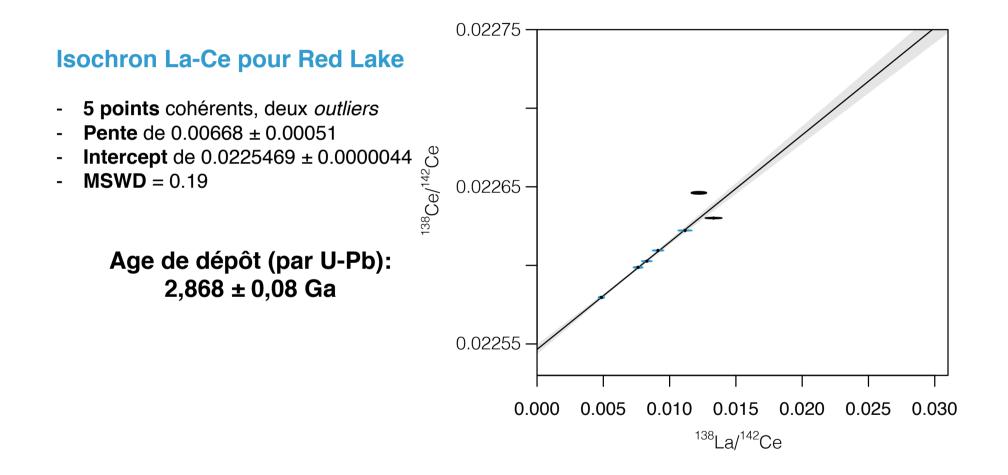
→ différentes pentes pour différents âges

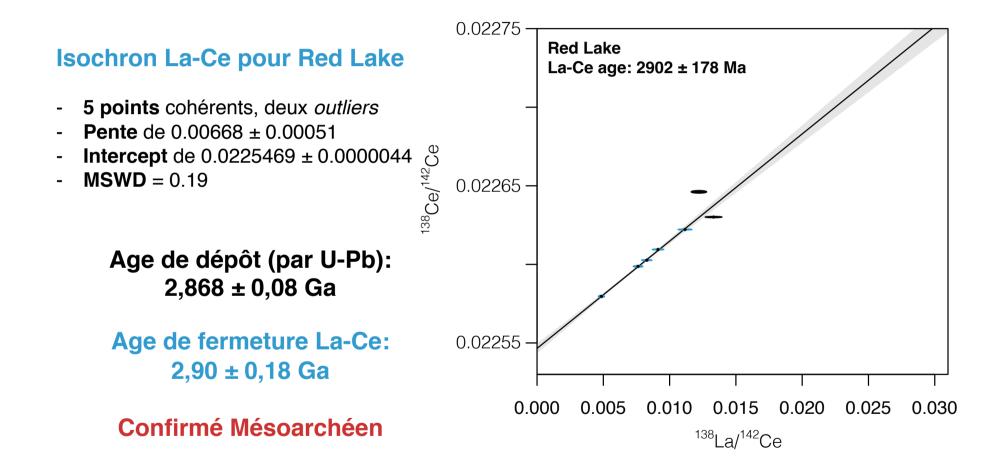
Nous pouvons **placer nos données sur des isochrones théoriques** prédites pour des anomalies en Ce d'âges divers

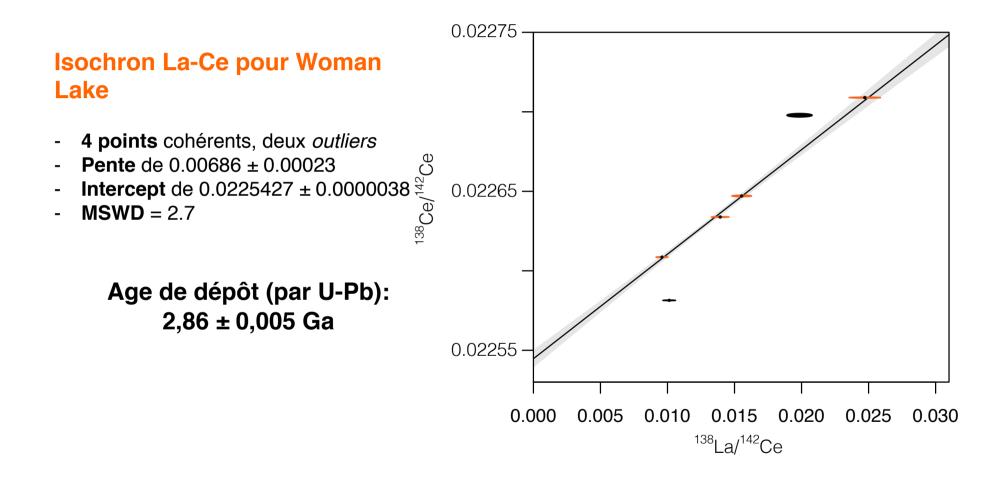
Les anomalies en Ce des trois plateformes mésoarchéennes sont clairement anciennes

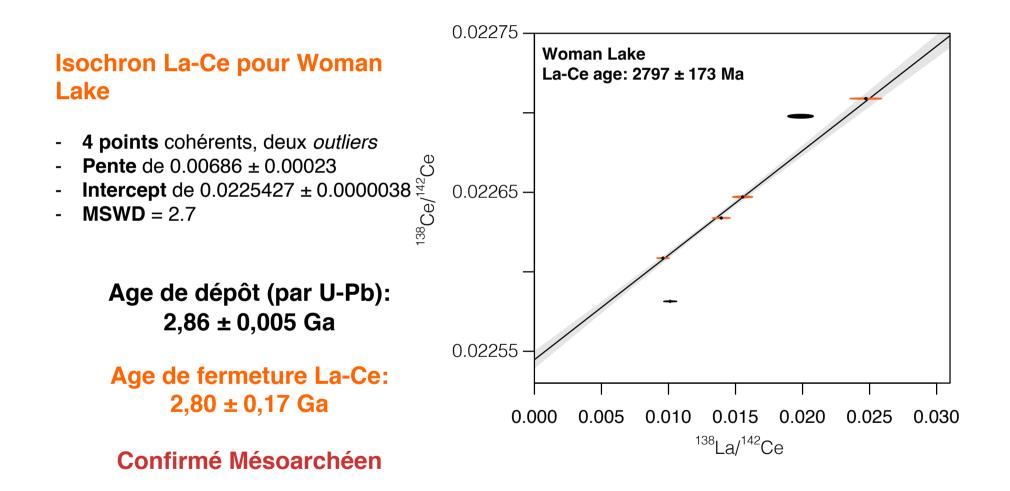
Regardons par la suite les données site par site...

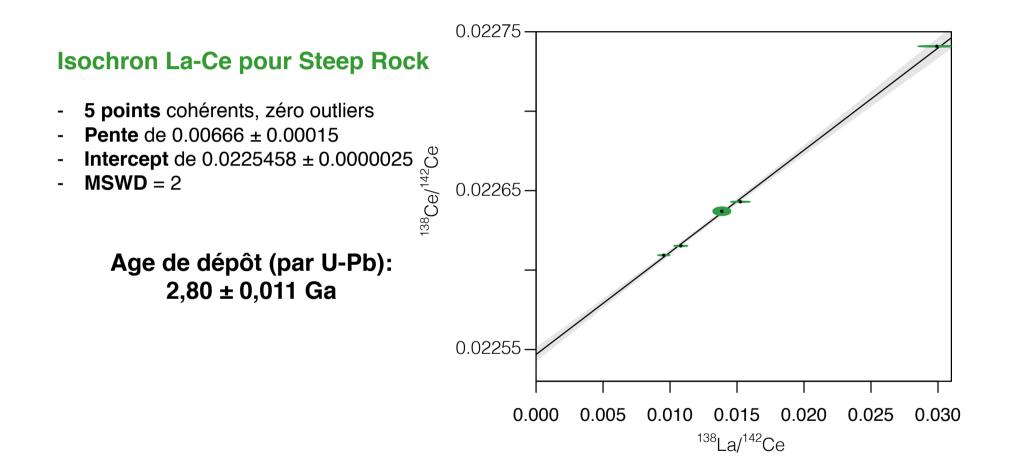


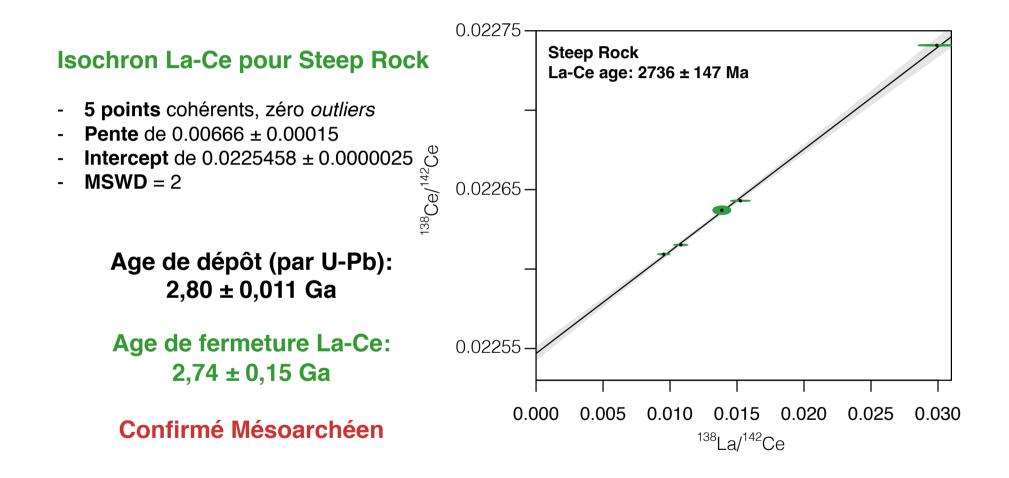












Conclusion

Datation radiométrique La-Ce appliquée aux carbonates stromatolithiques mésoarchéens: **Succès**

Pour les trois sites, les anomalies en Ce sont primaires





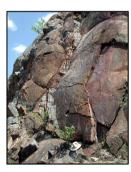




Photo: Tanya Bosak, MIT

Conclusion

Datation radiométrique La-Ce appliquée aux carbonates stromatolithiques mésoarchéens: **Succès**

Pour les trois sites, les anomalies en Ce sont primaires

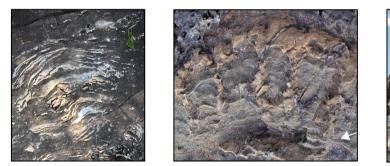




Photo: Tanya Bosak, MIT

Notre étude place fermement l'origine de la photosynthèse oxygénique à l'Archéen





Datation radiométrique La-Ce appliquée aux carbonates stromatolithiques mésoarchéens: **Succès**

Pour les trois sites, les anomalies en Ce sont primaires







Photo: Tanya Bosak, MIT

Notre étude place fermement l'origine de la photosynthèse oxygénique à l'Archéen

Merci beaucoup

stefan.lalonde@univ-brest.fr